



利用Inspec[®]数据库获取工程研究信息

中国科学技术大学图书馆
张素芳



- INSPEC简介
- 利用Inspec[®]数据库获取工程研究信息
 - 进行课题检索
 - 利用控制词、数值索引、化学索引等来精确检索
 - 检索结果分析管理
 - 设置课题追踪等个性化服务
- INSPEC on ISI Web of Knowledge总结



Inspec

- INSPEC 的英文全称为：Information Service in Physics、Electro-Technology、Computer and Control，即英国 IEE 的物理、电子电气、计算机与控制及信息科学文摘。
- 专业面覆盖物理、电子与电气工程、计算机与控制工程、信息技术、生产和制造工程等领域，并覆盖材料科学，海洋学，核工程，天文地理、生物医学工程、生物物理学等领域的内容。



Inspec

- 前身“科学文摘”SA始于1898年，由IET(The Institution of Engineering and Technology,英国工程技术学会)出版。
- “科学文摘”历史悠久，收录的文献品质高，文献数据量大，文献类型齐全，语种多，数据规范性好、分类及索引系统完备。
- Inspec是理工学科最重要、使用最为频繁的数据库之一，也是全球著名的科技文摘数据库之一。
- 它为物理学家、工程师、信息专家、研究人员与科学家提供了不可或缺的信息服务。



检索数量

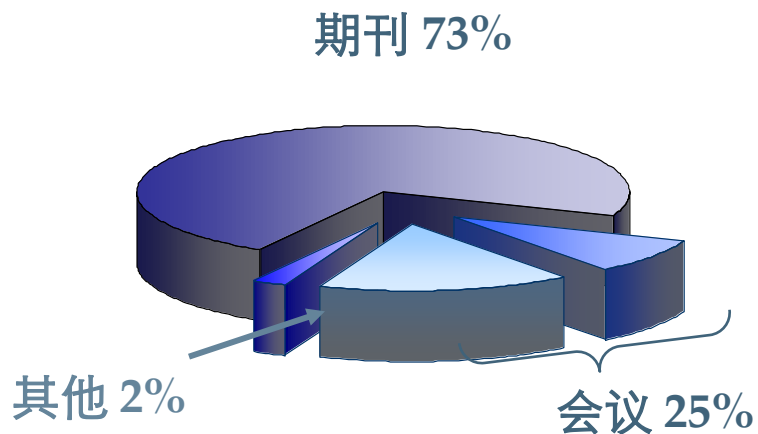
- 1000多万条文献(1969 – Present)
- 覆盖超过80个国家的出版物
- 覆盖超过140个国家的作者
- 5000期刊和2000多会议论文集，还有图书、研究报告和学位论文的相关信息
- 每年增加逾50万条文献,即每星期增加10,000条文献



检索类型

- 期刊 73%
- 会议论文（集） 17%
- 发表在期刊的会议论文 8%
- 其它* 2%

} 25 %





Inspec检索专业

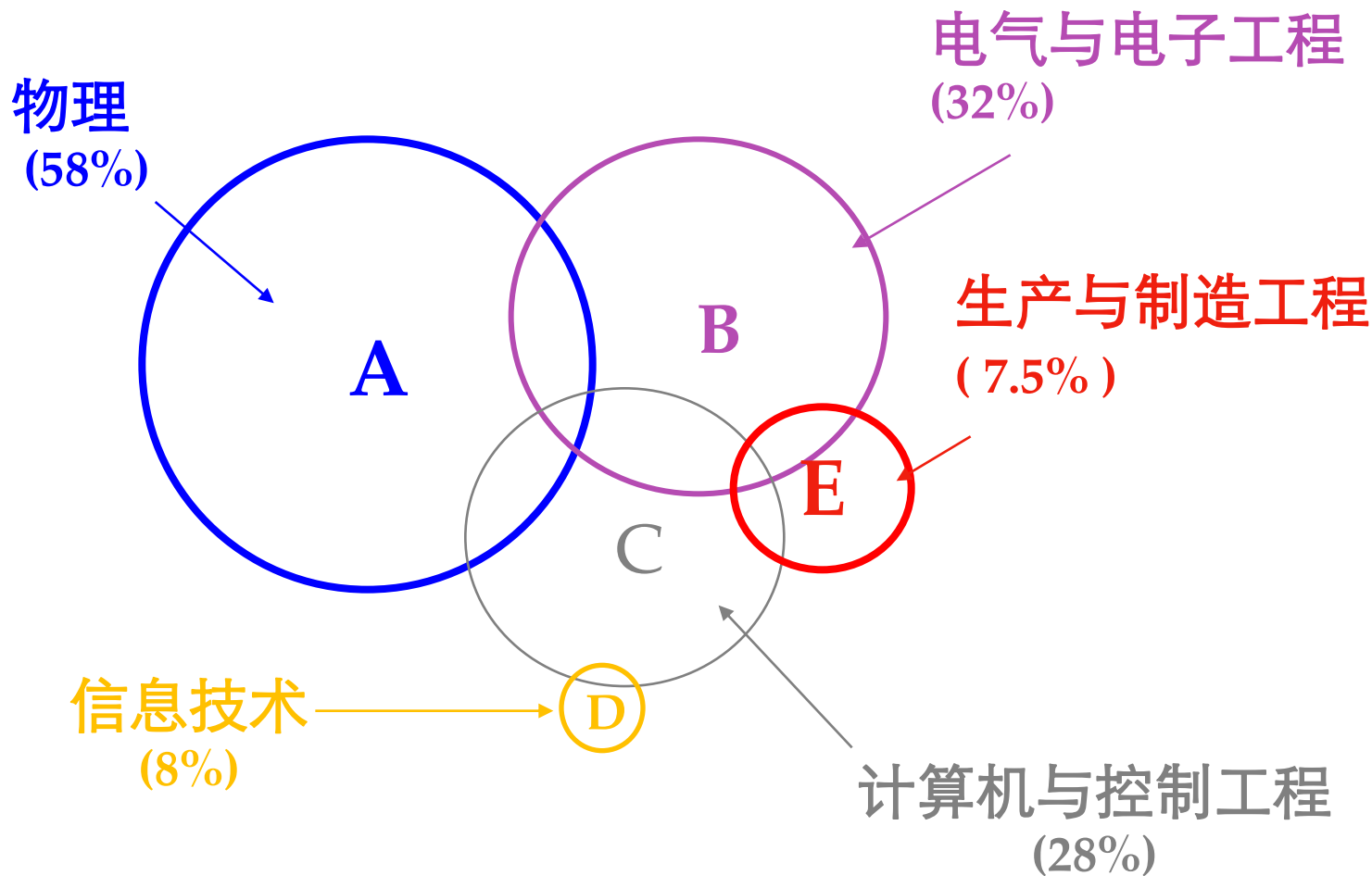


五大学科的科学/技术方面的文献，全球各国查新和专利申请/审批的必检数据库

- **物理 (Physics)**
- **电气与电子工程 (Electrical & Electronic Engineering)**
- **计算机与控制工程 (Computer & Control Engineering)**
- **信息技术 (Information Technology).**
- **生产与制造工程 (Production & Manufacturing Engineering)**



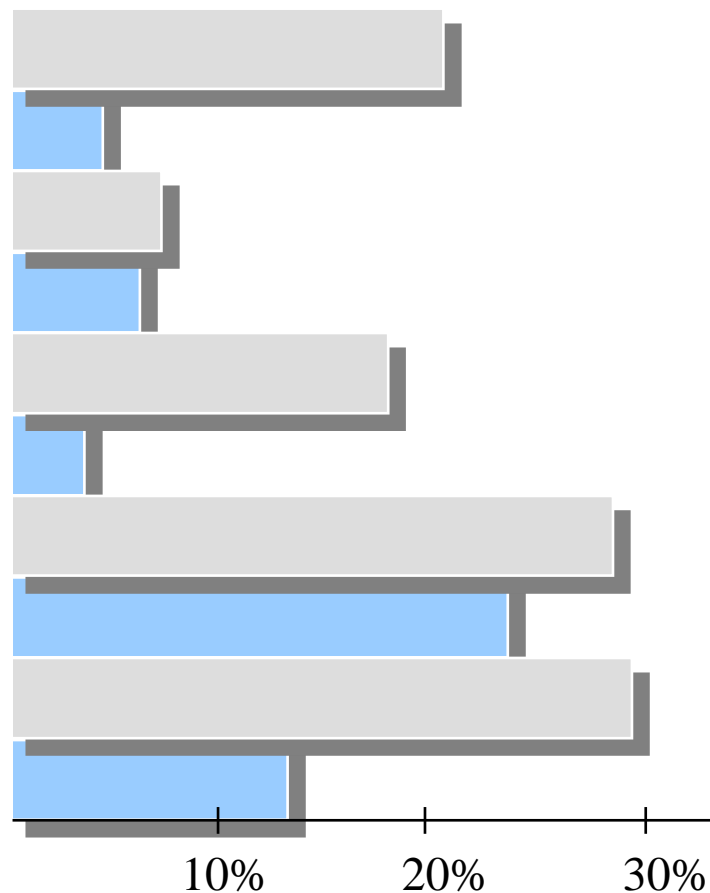
Inspec检索专业





A 物理

- A0 通用部分
- A1 基本粒子
- A2 核物理
- A3 原子分子物理
- A4 基础物理
- A5 等离子体和放电物理学
- A6 固态(非电子)物理
- A7 电子固体物理
- A8 跨学科物理学
- A9 地球物理学, 天文学





Inspec检索 - A 物理

检索领域	期刊数量
High Energy Physics	266
Atomic & Molecular Physics	149
Fluid Dynamics & Plasma & Optics	125
Solid State Physics	193
Materials & Mechanics	146
Biophysics & Biomedical Journals	129
Astronomy & Astrophysics	220



Inspec检索 - B 电气与电子

B0 通用部分

B1 电路

B2 电子与元器件

B3 磁性器件及材料

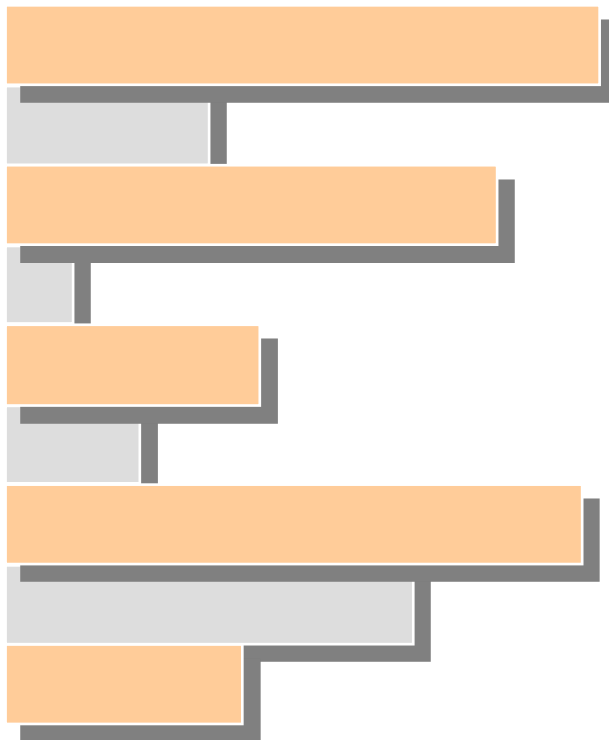
B4 光电子

B5 电磁场

B6 通信

B7 测量仪器及应用

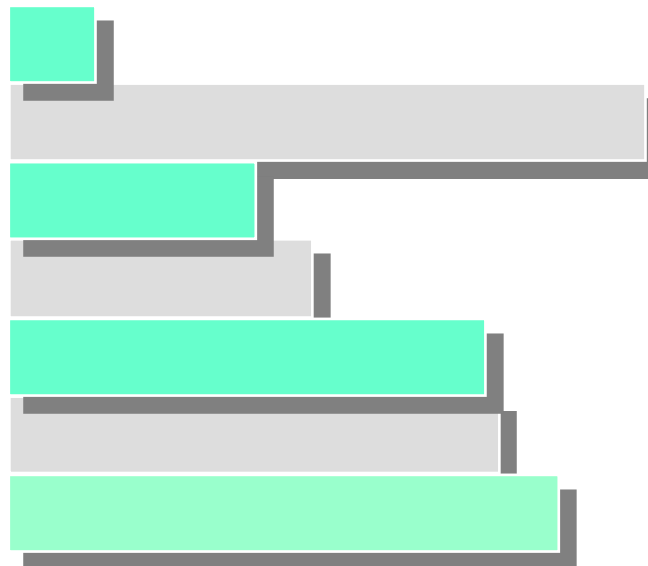
B8 电力系统





Inspec检索 - C 计算机与控制

- C0 通用与管理
- C1 系统和控制理论
- C3 控制技术
- C4 数值和计算机理论
- C5 计算机硬件
- C6 计算机软件
- C7 计算机应用技术





Inspec检索 - D 信息技术

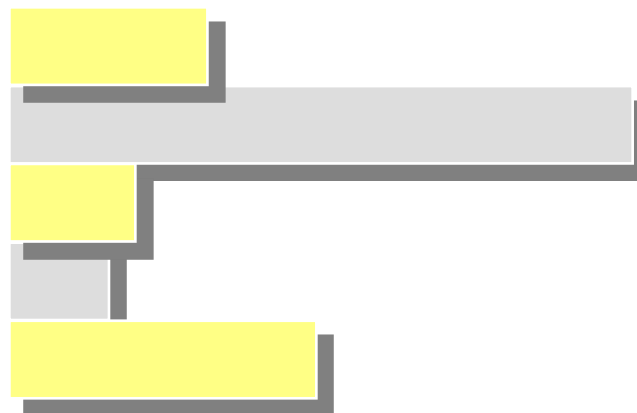
D1 通用与管理

D2 信息技术应用

D3 通用系统

D4 办公自动化(通信)

D5 办公室自动化(计算机)



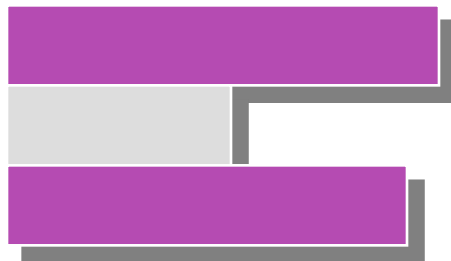


Inspec检索 - E 生产与制造工程

E0 通用主题

E1 生产和制造工程学

E3 工业界





- INSPEC简介
- 利用Inspec[®]数据库获取工程研究信息
 - 进行课题检索
 - 利用控制词、数值索引、化学索引等来精确检索
 - 检索结果分析管理
 - 设置课题追踪等个性化服务
- INSPEC on ISI Web of Knowledge总结

所有数据库

选择一个数据库

Inspec

其他资源

Web of ScienceSM (1899-至今)

访问世界领先的自然科学、社会科学、艺术和人文领域的权威学术文献数据库；研究和分析国际会议、专题讨论会、研讨会、座谈会、研习会和代表会议的会议文集。

[\[更多内容\]](#)

Web of ScienceSM 带有化学结构检索 (1899-至今)

注：目前可用的化学版本仅限于您能够访问的 Web of Knowledge 的早期版本。

[\[更多内容\]](#)

Derwent Innovations IndexSM (1963-至今)

来自 *Derwent World Patent Index*[®] 的增值专利信息 and 来自 *Patents Citation Index*[®] 的专利引文信息。

[\[更多内容\]](#)

Inspec[®] (1969-至今)

全面收录全球范围内在物理、电气电子工程、计算、控制工程、机械工程、生产和制造工程以及信息技术领域的各种期刊和会议文献的索引。

[\[更多内容\]](#)

MEDLINE[®] (1950-至今)

美国 National Library of Medicine[®] (美国国家医学图书馆, NLM[®]) 的主要生命科学数据库。

[\[更多内容\]](#)

Journal Citation Reports[®]

期刊评价工具提供了一套客观、系统的方法，对全球顶尖的学术期刊进行严格评价。

[\[更多内容\]](#)

www.isiknowledge.com



University of
Science and
Technology of
China USTC



支持, 工具, 提示

培训和支持

- [下载培训录音课件](#)
- [访问其他培训资源](#)

在 Facebook
上寻找我们
点赞



精准检索

Web of Knowledge 中的每个数据库都具有独特的内容和功能，包括专门的检索字段和受控词汇。

其他工具

Scientific WebPlus

快速查找与科学相关的 Web 内容! 使用 *Scientific WebPlus*, 可以在开放的 Web 页面中进行检索, 并快速查看与您关心的主题关系最密切的内容。

转至移动版网站

登录

标记结果列表 (0)

我的 EndNote Web

我的 ResearcherID

我的引文跟踪

我已保存的检索

注销

帮助

所有数据库 | 选择一个数据库

Inspec

其他资源

检索 | 高级检索 | 检索历史

Inspec[®]

默认一般检索

多种检索字段

检索

示例: supernova* dust

检索范围 主题

AND

示例: DiCarlo A * OR Di Carlo A *

检索范围 作者

AND

示例: Journal of Optical Technology OR Optical Engineering

检索范围 出版物名称

添加另一字段 >>

检索

清除

只能进行英文检索

当前限制: (要永久保存这些设置, 请登录或注册。)

时间跨度

所有年份 (更新时间 2012-04-06)

从 1969 至 2012 (默认为所有年份)

数据库: Inspec

调整检索设置

调整检索结果设置

选择限制条件

查看 | 简体中文 | English | 日本語

2012/4/10



您是否有关于新版本 Web of Knowledge 使用上的问题?

关于新版本 Web of Knowledge 与旧版本平台中不同的引文计数, 您是否还存有疑问? 您是否已注意到两个平台之间不同的搜索能力? 请参阅 FAQ 页面。

如何检索 Book Citation Index?

访问您订购或试用的 Web of Science, 在“当前限制”部分选择 Book Citation Index。有关非订阅用户的更多信息。

支持, 工具, 提示

培训和支持

- 下载录制好的快速培训内容
- 访问其他培训资源
- 有其他问题? 请查阅帮助文件。



Web of Knowledge 中的新增功能。

- 现在可在 Web of ScienceSM 中对 Researcher ID 进行检索。
- 在 Web of ScienceSM 中提供了自动查找拼写变体和全新的“作者甄别”功能。
- 其他新增功能

17

定制您的体验

登录 | 注册



Inspec 主要检索字段

检索字段	检索字段
控制词	主题
非控制词	标题
分类代码	作者
处理类型	出版物名称
化学索引	出版年
数值索引	地址
天体目标索引	会议信息
	识别码
	语种
	文献类型



Inspec 检索规则

应用规则	例子
大小写没有区分	输入Internet，INTERNET或internet都可以查寻到相同的结果
布尔逻辑算符 and、or、not、same	and:输入Television AND Satellite，检索出有关“电视机和卫星”的文章。
	or:输入Television OR Satellite，检索出有关“电视机或卫星”的文章。
	not:输入Television NOT Satellite，检索出有关“电视机”的文章，但不含卫星。
	Same:连接的检索词出现在同一个句子或者一个关键词短语里
截词：*、?、\$	* :代表0个到多个字母。如输入comput*得到computer，computerized，computation，computational，computability等。
	? :代表1个字母。如输入organi? ation可得到organisation，organization等。
	\$:表示0和1个字母，如cell\$可得到cell,cells,cello
词组检索	“electromagnetic field”

所有数据库 | 选择一个数据库 | **Inspec** | 其他资源

检索 | 高级检索 | 检索历史

Inspec[®]

高级检索

使用两个字母的字段标识、布尔逻辑运算符、括号和检索式引用来创建检索式。结果

示例 TS=(nanotub* SAME carbon) NOT AU=Smalley RE #1 NOT #2 [更多示例](#) | [查看教程](#)

检索字段定义

输入检索式

TS=(signal process*)

检索 只能进行英文检索

布尔逻辑运算符: AND、OR、NOT、SAME、NEAR

字段标识:

- TS= 主题
- TI= 标题
- AU= 作者
- ED= 编者
- SO= 出版物名称
- PY= 出版年
- UI= 非受控词索引
- CL= 分类
- CH= 化学数据
- AO= 天文学对象
- MI= 会议信息
- IC= 识别码

signal process*

检索范围

主题

示例: supernova* dust

AND

检索范围

作者

示例: DiCarlo A * OR Di Carlo A *

AND

检索范围

出版物名称

从 1969 至 2012 (默认为所有年份)

数据库: Inspec

调整检索设置

调整检索结果设置

检索历史

检索历史

检索式	检索结果	保存检索历史/创建跟踪	打开保存的检索历史	组配检索式	删除检索式
2012/4/10	#1 815,255	主题=(signal process*)	数据库=Inspec 时间跨度=所有年份	词形还原=打开	<input type="radio"/> AND <input type="radio"/> OR <input type="button" value="组配"/> <input type="button" value="删除"/>

检索结果

主题=(signal process*)
 时间跨度=所有年份. 数据库=Inspec.
 词形还原=打开

结果记录的管理：
 挑选记录
 保存, email, 打印, 下载数据

结果排列

注: 检索词的替换形式 (例如 tooth 和 teeth) 可能已应用, 特别是在检索词两侧没有引号的主题检索或标题检索中。如果仅查找检索词的精确匹配结果, 请关闭“原”选项。

检索结果: 815,255

结果条数

第 1 页, 共 10,000 页 转至

排序方式: 出版日期 (降序)

精炼检索结果

- 结果内检索
- 检索
- 分类
- COMPUTER VISION AND IMAGE PROCESSING TECHNIQUES (237,610)
 - OPTICAL IMAGE AND VIDEO SIGNAL PROCESSING (216,855)
 - SIGNAL PROCESSING AND DETECTION (161,803)
 - BIOLOGY AND MEDICAL COMPUTING (92,947)
 - OPTICAL INFORMATION IMAGE AND VIDEO SIGNAL PROCESSING (90,806)
- 更多选项/分类...
- 文献类型
- CONFERENCE PAPER (441,371)
 - JOURNAL PAPER (438,772)
 - CONFERENCE PROCEEDINGS (7,859)
 - BOOK CHAPTER (1,492)
 - REPORT (1,059)
- 更多选项/分类...
- 作者
- 编者
- 来源出版物
- 学科类别
- 出版年
- 处理类型
- 受控词索引
- 语种
- 2012/4/10
- 国家/地区

- (0)
- 保存为: EndNote Web EndNote ResearcherID 更多选项
- 分析检索结果
- 标题: A "rolling average" multiple adaptive planning method to compensate for target volume changes in image-guided radiotherapy of prostate cancer
 作者: Han Liu; Qiuwen Wu
 来源出版物: Journal of Applied Clinical Medical Physics 卷: 13 期: 1 页: 124-37 出版年: Winter 2012
[Links](#) [查看摘要](#)
 - 标题: Influence of acquisition parameters on MV-CBCT image quality
 作者: Gayou O.
 来源出版物: Journal of Applied Clinical Medical Physics 卷: 13 期: 1 页: 14-26 出版年: Winter 2012
[Links](#) [查看摘要](#)
 - 标题: 4D CT image acquisition errors in SBRT of liver identified using correlation
 作者: Szegedi M.; Sarkar V.; Rassiah-Szegedi P.; 等
 来源出版物: Journal of Applied Clinical Medical Physics 卷: 13 期: 1 页: 164-73 出版年: Winter 2012
[Links](#) [查看摘要](#)
 - 标题: Image intensifier distortion correction for fluoroscopic RSA: the need for independent accuracy assessment
 作者: Kedgley A.E.; Fox A.-M.V.; Jenkyn T.R.
 来源出版物: Journal of Applied Clinical Medical Physics 卷: 13 期: 1 页: 197-204 出版年: Winter 2012
[Links](#) [查看摘要](#)
 - 标题: Image quality of an investigational imaging panel for use with the imaging beam line cone-beam CT
 作者: Beltran C.
 来源出版物: Journal of Applied Clinical Medical Physics 卷: 13 期: 1 页: 76-83 出版年: Winter 2012
[Links](#) [查看摘要](#)
 - 标题: An accurate signal processing method for a novel smart adaptive grey model SAGM(1,1)
 作者: Truong D.Q.; Ahn T.K.
 来源出版物: Expert Systems with Applications 卷: 39 期: 9 页: 7611-20 DOI: 10.1016/j.eswa.2012.01.002 出版年: July 2012
[Links](#) [全文](#) [查看摘要](#)
 - 标题: A low-complexity spectro-temporal distortion measure for audio processing applications
 作者: Taal C.H.; Hendriks R.C.; Heusdens R.
 来源出版物: IEEE Transactions on Audio, Speech and Language Processing 卷: 20 期: 5 页: 1553-64 DOI: 10.1109/TASL.2012.2184753 出版年: July 2012
[Links](#) [全文](#) [查看摘要](#)
 - 标题: Robust Nearfield Wideband Beamformer Design Using Worst Case Mean Performance Optimization With Passband Response Variance Constraint
 作者: Huawei Chen; Wee Ser; Jianjiang Zhou

全文链接

检索结果 主题=(signal process*)
 精炼依据: 文献类型=(REPORT)
 时间跨度=所有年份. 数据库=Inspec.
 词形还原=打开

检索结果: **1,059**

第 1 页, 共 106 页 转至

排序方式: 出版日期 (降序)

精炼检索结果

结果内检索

检索

分类 精炼

- SIGNAL PROCESSING AND DETECTION (258)
- OPTICAL INFORMATION IMAGE AND VIDEO SIGNAL PROCESSING (207)
- INFORMATION THEORY (174)
- PATTERN RECOGNITION (183)
- REPORTS DISSERTATIONS THESES (157)
- [更多选项/分类...](#)

文献类型 精炼

REPORT (1,059)

作者

编者

来源出版物

学科类别

出版年

处理类型

受控词索引

语种

国家/地区

要获得更多精炼选项, 请使用

分析检索结果

保存为: EndNote Web EndNote ResearcherID 更多选项 分析检索结果

1. 标题: [Good Practice for deployment and use of iGPS/iSPACE NIMTech deliverable 3.1\(2\)](#)
 作者: Hughes B.; Forbes A.; Wenjuan Sun
 出版机构: **Nat. Phys. Lab., UK**
 来源出版物: Good Practice for deployment and use of iGPS/iSPACE NIMTech deliverable 3.1(2) 页: 22 pp 出版年: Feb. 2011
[Links](#) [[查看摘要](#)]
2. 标题: [Measurement Report CEOS WGCV Pilot Comparison of Techniques and Instruments Used for the Vicarious Calibration of Land Surface Imaging Through a Ground Reference Standard Test Site 2009](#)
 作者: Behnert I.; Deadman A.; Fox N.; 等.
 出版机构: **National Physical Laboratory, UK**
 来源出版物: Measurement Report CEOS WGCV Pilot Comparison of Techniques and Instruments Used for the Vicarious Calibration of Land Surface Imaging Through a Ground Reference Standard Test Site 2009 页: 112 pp 出版年: Feb. 2011
[Links](#) [[查看摘要](#)]
3. 标题: [Testing and Configuration of IEC 61850 Multivendor Protection Schemes](#)
 作者: Marshall D.
 出版机构: **IET, UK**
 来源出版物: Testing and Configuration of IEC 61850 Multivendor Protection Schemes 页: Video pp DOI: 10.1049/iet-tv.50.7926 出版年: 11 Jan. 2011
[Links](#) [[查看摘要](#)]
4. 标题: [Implementing vision systems in minutes with Vision Builder AI and LabVIEW](#)
 作者: Bailey M.
 出版机构: **IET, UK**
 来源出版物: Implementing vision systems in minutes with Vision Builder AI and LabVIEW 页: Video pp DOI: 10.1049/iet-tv.53.10000 出版年: 9 Nov. 2010
[Links](#) [[查看摘要](#)]
5. 标题: [Embedding reactive hardware agents into heterogeneous sensor networks](#)
 作者: Rodriguez S.
 出版机构: **IET, UK**
 来源出版物: Embedding reactive hardware agents into heterogeneous sensor networks 页: Video pp DOI: 10.1049/iet-tv.44.9568 出版年: 29 July 2010
[Links](#) [[查看摘要](#)]



案例 气象雷达

- 英文名称: meteorological radar
- 定义: 探测气象要素、现象等的雷达的总称。





(一) 检索“气象雷达”相关文献

WEB OF KNOWLEDGESM

DISCOVERY STARTS HERE



转至移动版网站

登录

标记结果列表 (0)

我的 EndNote Web

我的 ResearcherID

我的引文跟踪

我已保存的检索

注销

帮助

所有数据库 | 选择一个数据库

Inspec

其他资源

检索 | 高级检索 | 检索历史

Inspec[®]

检索

meteorological radar **or** weather radar **or** meteorologic radar

示例: supernova* dust

检索范围 主题

AND

示例: DiCarlo A * OR Di Carlo A *

检索范围 作者

AND

示例: Journal of Optical Technology OR Optical Engineering

检索范围 出版物名称

添加另一字段 >>

检索

清除

只能进行英文检索

当前限制: (要永久保存这些设置, 请登录或注册。)

时间跨度

所有年份 (更新时间 2012-0

从 1969 至 2012 (默认为所

数据库: Inspec

调整检索设置

调整检索结果设置

查看 2012/4/10 English | 日本語

主题检索是展开检索的最基本的起点

系统会自动在标题 (Title)、摘要 (Abstract)、非控制词 (Uncontrolled Terms)、控制词 (Controlled Term) 和分类代码 (Classification Code) 字段和其他相关的目录字段内检索。一般用于宽泛的查询

University of Science and Technology of China USTC



您是否有关于新版本 Web of Knowledge 使用上的问题?

关于新版本 Web of Knowledge 与旧版本平台中不同的引文计数, 您是否还存有疑问? 您是否已注意到两个平台之间不同的搜索能力? 请参阅 FAQ 页面。

如何检索 Book Citation Index?

访问您订购或试用的 Web of Science, 在“当前限制”部分选择 Book Citation Index。有关非订阅用户的更多信息。

特, 工具, 提示 训和支持

下载录制好的快速培训内容



访问其他培训资源

有其他问题? 请查阅帮助文件。

Web of Knowledge 中的新增功能。

现在可在 Web of ScienceSM 中对 Researcher ID 进行检索。

- 在 Web of ScienceSM 中提供了自动查找拼写变体和全新的“作者甄别”功能。
- 其他新增功能

24

定制您的体验

登录 | 注册

检索结果 主题=(meteorological radar or weather radar or meteorologic radar)

时间跨度=所有年份. 数据库=Inspec.

词形还原=打开

注: 检索词的替换形式(例如 tooth 和 teeth) 可能已应用, 特别是在检索词两侧没有引号的主题检索或标题检索中。如果仅查找检索词的精确匹配结果, 请关闭检索页面上的“词形还原”选项。

检索结果: **9,797**

第 1 页, 共 980 页 转至

排序方式: 出版日期(降序)

精炼检索结果

结果内检索

检索

分类

精炼

RADAR EQUIPMENT SYSTEMS AND APPLICATIONS (5,329)

INSTRUMENTATION AND TECHNIQUES FOR GEOPHYSICAL HYDROSPHERIC AND LOWER ATMOSPHERE RESEARCH (5,007)

ATMOSPHERIC IONOSPHERIC AND MAGNETOSPHERIC TECHNIQUES AND EQUIPMENT (4,939)

WATER IN THE ATMOSPHERE HUMIDITY CLOUDS EVAPORATION PRECIPITATION (2,721)

WINDS AND THEIR EFFECTS IN THE LOWER ATMOSPHERE (1,713)

更多选项/分类...

文献类型

精炼

JOURNAL PAPER (6,359)

CONFERENCE PAPER (4,309)

CONFERENCE PROCEEDINGS (120)

REPORT (33)

BOOK CHAPTER (18)

更多选项/分类...

作者

编者

来源出版物

学科类别

出版年

处理类型

受控词索引

语种

国家/地区

保存为: EndNote Web EndNote ResearcherID 更多选项

分析检索结果

- 标题: **Degree of Polarization at Simultaneous Transmit: Theoretical Aspects**
 作者: Galletti M.; Zrnic D.S.
 来源出版物: IEEE Geoscience and Remote Sensing Letters 卷: 9 期: 3 页: 383-7 DOI: 10.1109/LGRS.2011.2170150 出版年: May 2012
[Links](#) [全文](#) [田-查看摘要]
- 标题: **Resonance Effects Within S-Band in Echoes From Birds**
 作者: Melnikov V.M.; Lee R.R.; Langlieb N.J.
 来源出版物: IEEE Geoscience and Remote Sensing Letters 卷: 9 期: 3 页: 413-16 DOI: 10.1109/LGRS.2011.2169933 出版年: May 2012
[Links](#) [全文](#) [田-查看摘要]
- 标题: **Lunar tides in the mesosphere and lower thermosphere over Cachoeira Paulista (22.7degS; 45.0degW)**
 作者: Paulino A.R.; Batista P.P.; Clemesha R.
 来源出版物: Journal of Atmospheric and Solar-Terrestrial Physics 卷: 78-79 页: 31-6 DOI: 10.1016/j.jastp.2011.04.018 出版年: April 2012
[Links](#) [全文](#) [田-查看摘要]
- 标题: **Multiplatform Comparisons of Rain Intensity for Extreme Precipitation Events**
 作者: Amitai E.; Petersen W.; Lloft X.; 等.
 来源出版物: IEEE Transactions on Geoscience and Remote Sensing 卷: 50 期: 3 页: 675-86 DOI: 10.1109/TGRS.2011.2162737 出版年: March 2012
[Links](#) [全文](#) [田-查看摘要]
- 标题: **Modeling Polarimetric Response of Spaceborne Synthetic Aperture Radar Due to Precipitating Clouds From X-to Ka-Band**
 作者: Marzano F.S.; Mori S.; Weinman J.A.; 等.
 来源出版物: IEEE Transactions on Geoscience and Remote Sensing 卷: 50 期: 3 页: 687-703 DOI: 10.1109/TGRS.2011.2163942 出版年: March 2012
[Links](#) [全文](#) [田-查看摘要]
- 标题: **Efficient ways to learn weather radar polarimetry**
 作者: Qing Cao; Yearly M.B.; Guifu Zhang
 来源出版物: IEEE Transactions on Education 卷: 55 期: 1 页: 58-68 DOI: 10.1109/TE.2011.2118211 出版年: Feb. 2012
[Links](#) [全文](#) [田-查看摘要]
- 标题: **Spectral downscaling of integrated water vapor fields from satellite infrared observations**
 作者: Montopoli M.; Pierdicca N.; Marzano F.S.
 来源出版物: IEEE Transactions on Geoscience and Remote Sensing 卷: 50 期: 2 页: 415-28 DOI: 10.1109/TGRS.2011.2161996 出版年: Feb. 2012

2012/4/10

所有数据库

选择一个数据库

Inspec

其他资源

检索

高级检索

检索历史

Inspec[®]

<< 返回结果列表

第 1 条, 共 5,122 条

[全文](#) [Links](#) Shanghai Jiaotong University [转至](#)[+](#) [\(0\)](#) [打印](#) [邮件](#) 保存为: [EndNote Web](#) [EndNote](#) [ResearcherID](#) [更多选项](#)

Spectral downscaling of integrated water vapor fields from satellite infrared observations

作者: Montopoli, M.; Pierdicca, N.; Marzano, F.S.

来源出版物: IEEE Transactions on Geoscience and Remote Sensing 卷: 50 期: 2 页: 415-28 出版年: Feb. 2012 DOI: 10.1109/TGRS.2011.2161996

摘要: Atmospheric water vapor is a crucial constituent affecting both climate change and hydrological cycle processes, whereas on the other hand, it has a significant impact on the electromagnetic signal propagation. Since the distribution of atmospheric water vapor strongly varies with time, location, and altitude, it is necessary to monitor it at high spatial and temporal resolution. Unfortunately, mapping its spatial distribution is difficult due to the lack of meteorological instrumentation at an adequate spatial and temporal observation scale. For many geophysical applications, there is also the need to reconstruct spatial details of integrated precipitable water vapor from information available only at coarser spatial scales. Spatial downscaling approaches can play a significant role when high-resolution water vapor retrievals from relatively new sensors, like synthetic aperture radars, or from conventional sensors, like the infrared radiometers Medium Resolution Imaging Spectrometer (MERIS) or Moderate Resolution Imaging Spectroradiometer (MODIS), are used in synergy to enhance the accuracy of integrated water vapor retrievals. In this context, this paper introduces some new methodological aspects to increase the spatial resolution of integrated precipitable water vapor observations using a statistical downscaling spectral approach. To highlight the potential and the usefulness of the proposed downscaling estimation procedure, collocated 250-m MERIS and 1-km MODIS acquisitions are used. Results reveal the ability of spectral downscaling to reproduce quite well the second-order statistical variability of the water vapor field at small spatial scales with a root-mean-square error comparable with conventional interpolation techniques.

入藏号: 12477841

文献类型: Journal Paper

语种: English

处理类型: Theoretical or Mathematical

受控索引: atmospheric humidity; atmospheric techniques; statistical analysis

非受控索引: spectral downscaling; integrated water vapor field; satellite infrared observation; atmospheric water vapor; climate change; hydrological cycle; electromagnetic signal propagation; spatial observation scale; temporal observation scale; synthetic aperture radar; Medium Resolution Imaging Spectrometer; MERIS; Moderate Resolution Imaging Spectroradiometer; MODIS; statistical downscaling

分类代码: A9365 Data and information; acquisition, processing, storage and dissemination in geophysics; A9385 Instrumentation and techniques for geophysical, hydrospheric and lower atmosphere research; A9260J Water in the atmosphere (humidity, clouds, evaporation, precipitation)

国际专利分类: G01V

作者地址: Montopoli, M.; Dept. of Electr. & Inf. Eng., Univ. of L'Aquila, L'Aquila, Italy.; Pierdicca, N.; Marzano, F.S.; Dept. of Inf., Electron. & Telecommun. Eng., Sapienza Univ. of Rome, Rome, Italy.

出版商: IEEE, USA



使用控制词、非控制词检索

WEB OF KNOWLEDGESM

DISCOVERY STARTS HERE

[转至移动版网站](#)

[登录](#)

[标记结果列表 \(0\)](#)

[我的 EndNote Web](#)

[我的 ResearcherID](#)

所有数据库

选择一个数据库

Inspec

其他资源

[检索](#)

[高级检索](#)

[检索历史](#)

Inspec[®]

检索

meteorological radar or weather radar

示例: radiowave propagation

检索范围

受控与非受控索引

AND

示例: DiCarlo A * OR Di Carlo A *

检索范围

作者

AND

示例: Journal of Optical Technology OR Optical Engineering

检索范围

出版物名称

[添加另一字段 >>](#)

检索

清除

只能进行英文检索

所有数据库 | 选择一个数据库 | Inspec | 其他资源

检索 | 高级检索 | 检索历史

Inspec[®]

检索结果 非受控索引=(meteorological radar or weather radar) OR 受控索引=(meteorological radar or weather radar)
时间跨度=所有年份. 数据库=Inspec.
词形还原=打开

检索结果: 4,675

第 1 页, 共 468 页 转至

排序方式: 出版日期 (降序)

隐藏精炼

精炼检索结果

结果内检索 检索

▼ 分类 精炼

- ATMOSPHERIC IONOSPHERIC AND MAGNETOSPHERIC TECHNIQUES AND EQUIPMENT (3,588)
- RADAR EQUIPMENT SYSTEMS AND APPLICATIONS (3,369)
- INSTRUMENTATION AND TECHNIQUES FOR GEOPHYSICAL HYDROSPHERIC AND LOWER ATMOSPHERE RESEARCH (2,930)
- WATER IN THE ATMOSPHERE HUMIDITY CLOUDS EVAPORATION PRECIPITATION (1,737)
- WINDS AND THEIR EFFECTS IN THE LOWER ATMOSPHERE (1,030)

更多选项/分类...

▼ 文献类型 精炼

- JOURNAL PAPER (2,935)
- CONFERENCE PAPER (2,033)
- CONFERENCE PROCEEDINGS (37)
- REPORT (10)
- BOOK CHAPTER (7)

更多选项/分类...

保存为: EndNote Web | EndNote | ResearcherID 更多选项 分析检索结果

- 标题: Degree of Polarization at Simultaneous Transmit: Theoretical Aspects
 作者: Galletti M.; Zmic D.S.
 来源出版物: IEEE Geoscience and Remote Sensing Letters 卷: 9 期: 3 页: 383-7 DOI: 10.1109/LGRS.2011.2170150 出版年: May 2012
[Links](#) [全文](#) [查看摘要](#)
- 标题: Resonance Effects Within S-Band in Echoes From Birds
 作者: Melnikov V.M.; Lee R.R.; Langlieb N.J.
 来源出版物: IEEE Geoscience and Remote Sensing Letters 卷: 9 期: 3 页: 413-16 DOI: 10.1109/LGRS.2011.2169933 出版年: May 2012
[Links](#) [全文](#) [查看摘要](#)
- 标题: Lunar tides in the mesosphere and lower thermosphere over Cachoeira Paulista (22.7degS; 45.0degW)
 作者: Paulino A.R.; Batista P.P.; Clemesha R.
 来源出版物: Journal of Atmospheric and Solar-Terrestrial Physics 卷: 78-79 页: 31-6 DOI: 10.1016/j.jastp.2011.04.018 出版年: April 2012
[Links](#) [全文](#) [查看摘要](#)
- 标题: Multiplatform Comparisons of Rain Intensity for Extreme Precipitation Events
 作者: Amitai E.; Petersen W.; Llor X.; 等.
 来源出版物: IEEE Transactions on Geoscience and Remote Sensing 卷: 50 期: 3 页: 675-86 DOI: 10.1109/TGRS.2011.2162737 出版年: March 2012
[Links](#) [全文](#) [查看摘要](#)
- 标题: Modeling Polarimetric Response of Spaceborne Synthetic Aperture Radar Due to Precipitating Clouds From X- to Ka-Band
 作者: Marzano F.S.; Mori S.; Weinman J.A.; 等.
 来源出版物: IEEE Transactions on Geoscience and Remote Sensing 卷: 50 期: 3 页: 687-703 DOI: 10.1109/TGRS.2011.2163942 出版年: March 2012
[Links](#) [全文](#) [查看摘要](#)
- 标题: Efficient ways to learn weather radar polarimetry
 作者: Qing Cao; Yeary M.B.; Guifu Zhang
 来源出版物: IEEE Transactions on Education 卷: 55 期: 1 页: 58-68 DOI: 10.1109/TE.2011.2118211 出版年: Feb. 2012
[Links](#) [全文](#) [查看摘要](#)

作者 2012/4/10
编者
来源出版物



Inspec 检索字段 —— 控制词(受控索引)

为什么使用控制词：

- 控制拼写差异：
center = centre 、 disc = disk
- 控制缩写歧义：
PC: Personal Computers、 Printed Circuits
- 控制专业词汇/同义词差异：
Lift = Elevator
Internet = www = world wide web
- 控制标点符号表达差异：
a = alpha、 Infrared = infra-red = IR



Inspec 检索字段 —— 控制词(受控索引)

选编原则:

- 择自Inspec叙词表的关键词和词组
- 标准化的标点符号,拼写和专有名词
- 选用相关度高的词或词组
- 相关词或词组被且选用在最恰当的水平
- 由Inspec专家选编的能概括文献内容的关键词

Inspec叙词表(控制词表)有1万9千个词和词组,其中有10,000余优先词, 9,000余引入词



Inspec 检索字段 —— 控制词(受控索引)

为什么使用控制词?

- 用标准化的词或词组可囊括检索出在拼写，标点符号和专业名词出现的多种形式，或避免漏检某些变化；
 - e.g. Center (=centre),
 - online (=on line=on-line),
 - Internet (=www=world wide web)
- 可获取更多相关的，但用自由词检索而漏掉的文献。如 Internet 会获取用自由词: www, world wide web, web site, Network...等词或词组所出的结果。
- 过滤掉与主题不太相关的文献，提高检索准确率。

所有数据库 | 选择一个数据库 | Inspec | 其他资源

检索 | 高级检索 | 检索历史

Inspec[®]

检索结果 #3 NOT #4
时间跨度=所有年份. 数据库=Inspec.
词形还原=打开

检索结果: 5,122 | 第 1 页, 共 513 页 | 转至 | 排序方式: 出版日期 (降序)

隐藏精炼

精炼检索结果

- 结果内检索
- 分类 精炼
- INSTRUMENTATION AND TECHNIQUES FOR GEOPHYSICAL HYDROSPHERIC AND LOWER ATMOSPHERE RESEARCH (2,077)
 - RADAR EQUIPMENT SYSTEMS AND APPLICATIONS (1,960)
 - ATMOSPHERIC IONOSPHERIC AND MAGNETOSPHERIC TECHNIQUES AND EQUIPMENT (1,351)
 - WATER IN THE ATMOSPHERE HUMIDITY CLOUDS EVAPORATION PRECIPITATION (984)
 - WEATHER ANALYSIS AND PREDICTION (741)
- 更多选项/分类...

- 文献类型 精炼
- JOURNAL PAPER (3,424)
 - CONFERENCE PAPER (2,276)
 - CONFERENCE PROCEEDINGS (83)
 - REPORT (23)
 - BOOK CHAPTER (11)
- 更多选项/分类...

保存为: EndNote Web | EndNote | ResearcherID | 更多选项 | 分析检索结果

1. 标题: **Spectral downscaling of integrated water vapor fields from satellite infrared observations**
作者: Montopoli W.; Ferrisio N.; Marzano F. S.
来源出版物: IEEE Transactions on Geoscience and Remote Sensing 卷: 50 期: 2 页: 415-28 DOI: 10.1109/TGRS.2011.2161996 出版年: Feb. 2012
Links 全文 [查看摘要]
2. 标题: **Application of QuikSCAT Backscatter to SMAP Validation Planning: Freeze/Thaw State Over ALECTRA Sites in Alaska From 2000 to 2007**
作者: Colliander A.; McDonald K.; Zimmermann R.; 等.
来源出版物: IEEE Transactions on Geoscience and Remote Sensing 卷: 50 期: 2 页: 461-8 DOI: 10.1109/TGRS.2011.2174368 出版年: Feb. 2012
Links 全文 [查看摘要]
3. 标题: **A maximum likelihood approach to estimation of vector velocity in doppler radar networks**
作者: Insanic E.; Siqueira P. R.
来源出版物: IEEE Transactions on Geoscience and Remote Sensing 卷: 50 期: 2 页: 553-67 DOI: 10.1109/TGRS.2011.2161766 出版年: Feb. 2012
Links 全文 [查看摘要]
4. 标题: **Modernization of En Route Air Surveillance Radar**
作者: Jian Wang; Brookner E.; Cornwell P.; 等.
来源出版物: IEEE Transactions on Aerospace and Electronic Systems 卷: 48 期: 1 页: 103-15 DOI: 10.1109/TAES.2012.6129623 出版年: Jan. 2012
Links 全文 [查看摘要]
5. 标题: **Airborne Estimation of Boreal Forest LAI in Winter Conditions: A Test Using Summer and Winter Ground Truth**
作者: Manninen T.; Korhonen L.; Voipio P.; 等.
来源出版物: IEEE Transactions on Geoscience and Remote Sensing 卷: 50 期: 1 页: 68-74 DOI: 10.1109/TGRS.2011.2173939 出版年: Jan. 2012
Links 全文 [查看摘要]



怎么寻找最相关词的叙词(控制词)

- 查找叙词表
 - 输入词检索词, 浏览提示结果
 - 浏览父级词, 子级词, 顶级词, 相关词
- 通过试验查找

WEB OF KNOWLEDGESM | DISCOVERY STARTS HERE

[转至移动版网站](#)

[登录](#)

[标记结果列表 \(0\)](#)

[我的 EndNote Web](#)

[我的 ResearcherID](#)

所有数据库

选择一个数据库

Inspec

其他资源

检索 | 高级检索 | 检索历史

Inspec[®]

检索

示例: radiowave propagation

检索范围

受控索引



AND

示例: radiowave propagation

检索范围

受控与非受控索引



AND

2012/4/10

示例: radiowave propagation

检索范围

受控索引

33



[添加另一字段 >>](#)



Inspec®

Inspec 叙词

使用“查找”功能可查找要添加到检索式中的关键词

输入文本可查找包含该文本或与之相关的叙词
例如 输入 automat* 可查找 applica

meteorological radar 查找

检索结果第 1 页 (第 1 - 7)

关键词: 添加 = 添加到检索式 H = 在

添加	H	T	atmospheric
添加	H	T	atmospheric
添加	H	T	meteorological
添加	H	T	meteorology
添加	H	T	radar
添加	H	T	remote sens
添加	H	T	weather fore

检索结果第 1 页 (第 1 - 7)

返回页首

浏览 Inspec 叙词分层结构

关键词: 添加 = 添加到检索式 T = 查看叙词详细信息 查看条目 [1/2]

- 添加 planetary atmospheres T
 - 添加 terrestrial atmosphere T
 - 添加 fog T
 - 添加 atmospheric temperature T
 - 添加 atmospheric electricity T
 - 添加 atmospheric electric fields T
 - 添加 atmospheric humidity T
 - 添加 troposphere T
 - 添加 atmospheric movement T
 - 添加 atmospheric radiation T
 - 添加 atmospheric ionisation T
 - 添加 atmospheric structure T
 - 添加 atmospheric thermodynamics T
 - 添加 atmospheric chemistry T
 - 添加 upper atmosphere T
 - 添加 atmospheric composition T
 - 添加 atmospheric acoustics T
 - 添加 atmospheric spectra T
 - 添加 atmospheric pressure T
 - 添加 atmospheric optics T
 - 添加 stratosphere T
 - 添加 atmospheric techniques T
 - 添加 clouds T
 - 添加 atmospheric electromagnetic wave propagation T
 - 添加 climatology T
 - 添加 atmospheric precipitation T
 - 添加 meteorology T
 - 添加 storms T
 - 添加 weather modification T
 - 添加 weather forecasting T
 - 添加 meteorological radar T
 - 添加 air T
 - 添加 atmospheric radioactivity T

代表哪些词

父级控制词

顶级控制词

相关分类代码

收录时间

前词

Meteorological radar

关键词: 添加 = 添加到检索式 H = 在分层结构中查看 T = 查看叙词详细信息

Thesaurus Term: 添加 H meteorological radar

Used For: weather radar

Broader Term(s): 添加 H T meteorology
添加 H T radar
添加 H T remote sensing by radar
添加 H T weather forecasting

Top Term(s): 添加 H T planetary atmospheres
添加 H T radar

Related Classification Code(s): A9260
A9385
B6320
B7710B

Date of Input: January 1995

Prior Term(s): 添加 H T meteorology

将以下所选检索词传输至“检索”页面上的“受控索引”字段。

确定

取消

检索结果 主题=(meteorological radar or weather radar or meteorologic radar)

时间跨度=所有年份 数据库=Inspec.

词形还原=打开

通过试验查找

注: 检索词的替换形式(例如 tooth 和 teeth) 可能已应用, 特别是在检索词两侧没有引号的主题检索或标题检索中。如果仅查找检索词的精确匹配结果, 请关闭检索页面上的“词形还原”选项。

检索结果: 9,797

第 1 页, 共 980 页 转至

排序方式: 出版日期(降序)

精炼检索结果

结果内检索

检索

分类

精炼

 RADAR EQUIPMENT SYSTEMS AND APPLICATIONS (5,329) INSTRUMENTATION AND TECHNIQUES FOR GEOPHYSICAL HYDROSPHERIC AND LOWER ATMOSPHERE RESEARCH (5,007) ATMOSPHERIC IONOSPHERIC AND MAGNETOSPHERIC TECHNIQUES AND EQUIPMENT (4,939) WATER IN THE ATMOSPHERE HUMIDITY CLOUDS EVAPORATION PRECIPITATION (2,721) WINDS AND THEIR EFFECTS IN THE LOWER ATMOSPHERE (1,713)

更多选项/分类...

文献类型

精炼

 JOURNAL PAPER (6,359) CONFERENCE PAPER (4,309) CONFERENCE PROCEEDINGS (120) REPORT (33) BOOK CHAPTER (18)

更多选项/分类...

作者

编者

来源出版物

学科类别

出版年

处理类型

受控词索引

语种

国家/地区

保存为: EndNote Web EndNote ResearcherID 更多选项

分析检索结果

- 标题: **Degree of Polarization at Simultaneous Transmit: Theoretical Aspects**
作者: Galletti M.; Zrnec D.S.
来源出版物: IEEE Geoscience and Remote Sensing Letters 卷: 9 期: 3 页: 383-7 DOI: 10.1109/LGRS.2011.2170150 出版年: May 2012
Links 全文 [查看摘要]
- 标题: **Resonance Effects Within S-Band in Echoes From Birds**
作者: Melnikov V.M.; Lee R.R.; Langlieb N.J.
来源出版物: IEEE Geoscience and Remote Sensing Letters 卷: 9 期: 3 页: 413-16 DOI: 10.1109/LGRS.2011.2169933 出版年: May 2012
Links 全文 [查看摘要]
- 标题: **Lunar tides in the mesosphere and lower thermosphere over Cachoeira Paulista (22.7degS; 45.0degW)**
作者: Paulino A.R.; Batista P.P.; Clemesha R.
来源出版物: Journal of Atmospheric and Solar-Terrestrial Physics 卷: 78-79 页: 31-6 DOI: 10.1016/j.jastp.2011.04.018 出版年: April 2012
Links 全文 [查看摘要]
- 标题: **Multiplatform Comparisons of Rain Intensity for Extreme Precipitation Events**
作者: Amitai E.; Petersen W.; Lloft X.; 等.
来源出版物: IEEE Transactions on Geoscience and Remote Sensing 卷: 50 期: 3 页: 675-86 DOI: 10.1109/TGRS.2011.2162737 出版年: March 2012
Links 全文 [查看摘要]
- 标题: **Modeling Polarimetric Response of Spaceborne Synthetic Aperture Radar Due to Precipitating Clouds From X-to Ka-Band**
作者: Marzano F.S.; Mori S.; Weinman J.A.; 等.
来源出版物: IEEE Transactions on Geoscience and Remote Sensing 卷: 50 期: 3 页: 687-703 DOI: 10.1109/TGRS.2011.2163942 出版年: March 2012
Links 全文 [查看摘要]
- 标题: **Efficient ways to learn weather radar polarimetry**
作者: Qing Cao; Yearly M.B.; Guifu Zhang
来源出版物: IEEE Transactions on Education 卷: 55 期: 1 页: 58-68 DOI: 10.1109/TE.2011.2118211 出版年: Feb. 2012
Links 全文 [查看摘要]
- 标题: **Spectral downscaling of integrated water vapor fields from satellite infrared observations**
作者: Montopoli M.; Pierdicca N.; Marzano F.S.
来源出版物: IEEE Transactions on Geoscience and Remote Sensing 卷: 50 期: 2 页: 415-28 DOI: 10.1109/TGRS.2011.2161996 出版年: Feb. 2012

2012/4/10

35

所有数据库

选择一个数据库

Inspec

其他资源

检索

高级检索

检索历史

Inspec[®]

<< 返回结果列表

第 1 条, 共 9,797 条

全文

Links

Shanghai Jiaotong University

转至

+ (0)



保存为:

EndNote Web

EndNote

ResearcherID

更多选项

Degree of Polarization at Simultaneous Transmit: Theoretical Aspects

作者: Galletti, M.; Zrnice, D.S.

来源出版物: IEEE Geoscience and Remote Sensing Letters 卷: 9 期: 3 页: 383-7 出版年: May 2012 DOI: 10.1109/LGRS.2011.2170150

摘要: We consider weather radar measurements at simultaneous transmission and simultaneous reception of horizontal and vertical polarizations and show that the degree of polarization at simultaneous transmit (ρ_s) is related to differential reflectivity and copolar correlation coefficient at simultaneous transmit (namely, Z_{DR} 's and ρ_{hy} 's). We evaluate the potential of degree of polarization at simultaneous transmit for weather radar applications.

Ultimately, we explore the consequences of adjusting the transmit polarization state of dual-polarization weather radars to circular polarization.

入藏号: 12575019

文献类型: Journal Paper

语种: English

处理类型: Theoretical or Mathematical

受控索引: meteorological radar radar polarimetry; reflectivity

非受控索引: weather radar measurements; vertical polarization; horizontal polarization; simultaneous transmit; differential reflectivity; copolar correlation coefficient; radar applications; dual-polarization weather radars; circular polarization

分类代码: A9385 Instrumentation and techniques for geophysical, hydrospheric and lower atmosphere research; B7710B Atmospheric, ionospheric and magnetospheric techniques and equipment; B6320 Radar equipment, systems and applications

国际专利分类: G01V

作者地址: Galletti, M.; Dept. of Environ. Sci., Brookhaven Nat. Lab., Upton, NY, USA.; Zrnice, D.S.; Nat. Severe Storms Lab., Nat. Oceanic & Atmos. Adm., Norman, OK, USA.

出版商: IEEE, USA

参考日期: 2012/4/10

CODEN: IGRSBY

ISSN: 1545-598X



Inspec 检索字段 —— 非控制词

非控制词:

- 属于Inspec的一个检索字段，是从原始文献中查找出的关键字词。
- 这些字词由Inspec专家择选，并涵盖了原始文献的主要概念。
- 主要从标题、摘要、全文和索引员的专业知识获得。



Inspec 检索字段——非控制词

应用场合：

- 新概念, 缩写和全名
- 产品或公司名称
- 地名
- 化学制品 (无机化合物分子式, 有机化合物名称)
- 数字数据
- 非专业或技术性词或词组

所有数据库

选择一个数据库

Inspec

其他资源

检索

高级检索

检索历史

Inspec[®]

<< 返回结果列表

第 1 条, 共 9,797 条

全文

Links

Shanghai Jiaotong University

转至

+ (0)



保存为:

EndNote Web

EndNote

ResearcherID

更多选项

Degree of Polarization at Simultaneous Transmit: Theoretical Aspects

作者: Galletti, M.; Zrníc, D.S.

来源出版物: IEEE Geoscience and Remote Sensing Letters 卷: 9 期: 3 页: 383-7 出版年: May 2012 DOI: 10.1109/LGRS.2011.2170150

摘要: We consider weather radar measurements at simultaneous transmission and simultaneous reception of horizontal and vertical polarizations and show that the degree of polarization at simultaneous transmit (ρ_s) is related to differential reflectivity and copolar correlation coefficient at simultaneous transmit (namely, Z_{DR} s and ρ_{hy} s). We evaluate the potential of degree of polarization at simultaneous transmit for weather radar applications.

Ultimately, we explore the consequences of adjusting the transmit polarization state of dual-polarization weather radars to circular polarization.

入藏号: 12575019

文献类型: Journal Paper

语种: English

处理类型: Theoretical or Mathematical

受控索引: meteorological radar; radar polarimetry; reflectivity

非受控索引: weather radar measurements; vertical polarization; horizontal polarization; simultaneous transmit; differential reflectivity; copolar correlation coefficient; radar applications; dual-polarization weather radars; circular polarization

分类代码: A9385 Instrumentation and techniques for geophysical, hydrospheric and lower atmosphere research; B7710B Atmospheric, ionospheric and magnetospheric techniques and equipment; B6320 Radar equipment, systems and applications

国际专利分类: G01V

作者地址: Galletti, M.; Dept. of Environ. Sci., Brookhaven Nat. Lab., Upton, NY, USA.; Zrníc, D.S.; Nat. Severe Storms Lab., Nat. Oceanic & Atmos. Adm., Norman, OK, USA.

出版商: IEEE, USA

参考日期: 2012/4/10

CODEN: IGRSBY

ISSN: 1545-598X



控制词与非控制词检索

WEB OF KNOWLEDGESM

DISCOVERY STARTS HERE

[转至移动版网站](#)

[登录](#)

[标记结果列表 \(0\)](#)

[我的 EndNote Web](#)

[我的 ResearcherID](#)

所有数据库

选择一个数据库

Inspec

其他资源

[检索](#)

[高级检索](#)

[检索历史](#)

Inspec[®]

检索

meteorological radar or weather radar

示例: radiowave propagation

检索范围

受控与非受控索引

AND

示例: DiCarlo A * OR Di Carlo A *

检索范围

作者

AND

示例: Journal of Optical Technology OR Optical Engineering

检索范围

出版物名称

[添加另一字段 >>](#)

检索

清除

只能进行英文检索



(二) 看看气象雷达应用于通讯领域的文献

WEB OF KNOWLEDGESM | DISCOVERY STARTS HERE

转至移动版网站

登录 | 标记结果列表 (0) | 我的 EndNote Web | 我的 ResearcherID

所有数据库 | 选择一个数据库 | Inspec | 其他资源

检索 | 高级检索 | 检索历史

Inspec[®]

检索

meteorological radar or weather radar

示例: radiowave propagation

检索范围 受控与非受控索引

AND B6*

示例: C1470

检索范围 分类

AND

示例: Journal of Optical Technology OR Optical Engineering

检索范围 出版物名称

communications

添加另一字段 >>

检索 清除 只能进行英文检索

所有数据库 | 选择一个数据库

Inspec

其他资源

检索 | 高级检索 | 检索历史

Inspec[®]

检索结果 (非受控索引=(meteorological radar or weather radar) OR 受控索引=(meteorological radar or weather radar)) AND 分类=(B6*)

时间跨度=所有年份 数据库=Inspec.

词形还原=打开

检索结果: **3,919**

第 1 页, 共 392 页 转到

排序方式: 出版日期 (降序)

保存为: EndNote Web | EndNote | ResearcherID | 更多选项

分析检索结果

1. 标题: **Degree of Polarization at Simultaneous Transmit: Theoretical Aspects**
 作者: Galletti M.; Zrnicek D.S.
 来源出版物: IEEE Geoscience and Remote Sensing Letters 卷: 9 期: 3 页: 383-7 DOI: 10.1109/LGRS.2011.2170150 出版年: May 2012
[Links](#) [全文](#) [查看摘要](#)
2. 标题: **Resonance Effects Within S-Band in Echoes From Birds**
 作者: Melnikov V.M.; Lee R.R.; Langlieb N.J.
 来源出版物: IEEE Geoscience and Remote Sensing Letters 卷: 9 期: 3 页: 413-16 DOI: 10.1109/LGRS.2011.2169933 出版年: May 2012
[Links](#) [全文](#) [查看摘要](#)
3. 标题: **Multiplatform Comparisons of Rain Intensity for Extreme Precipitation Events**
 作者: Amitai E.; Petersen W.; Lloret X.; 等
 来源出版物: IEEE Transactions on Geoscience and Remote Sensing 卷: 50 期: 3 页: 675-86 DOI: 10.1109/TGRS.2011.2162737 出版年: March 2012
[Links](#) [全文](#) [查看摘要](#)
4. 标题: **Modeling Polarimetric Response of Spaceborne Synthetic Aperture Radar Due to Precipitating Clouds From X- to Ka-Band**
 作者: Marzano F.S.; Mori S.; Weinman J.A.; 等
 来源出版物: IEEE Transactions on Geoscience and Remote Sensing 卷: 50 期: 3 页: 687-703 DOI: 10.1109/TGRS.2011.2163942 出版年: March 2012
[Links](#) [全文](#) [查看摘要](#)
5. 标题: **Efficient ways to learn weather radar polarimetry**
 作者: Qing Cao; Yeary M.B.; Guifu Zhang
 来源出版物: IEEE Transactions on Education 卷: 55 期: 1 页: 58-68 DOI: 10.1109/TE.2011.2118211 出版年: Feb. 2012
[Links](#) [全文](#) [查看摘要](#)
6. 标题: **Real-time vector velocity estimation in Doppler radar networks**
 作者: Insanovic E.; Siqueira P.R.
 来源出版物: IEEE Transactions on Geoscience and Remote Sensing 卷: 50 期: 2 页: 568-84 DOI: 10.1109/TGRS.2011.2161767 出版年: Feb. 2012
[Links](#) [全文](#) [查看摘要](#)

精炼检索结果

结果内检索

[检索](#)

▼ 分类 [精炼](#)

- ATMOSPHERIC IONOSPHERIC AND MAGNETOSPHERIC TECHNIQUES AND EQUIPMENT (3,435)
 - RADAR EQUIPMENT SYSTEMS AND APPLICATIONS (3,369)
 - INSTRUMENTATION AND TECHNIQUES FOR GEOPHYSICAL HYDROSPHERIC AND LOWER ATMOSPHERE RESEARCH (2,611)
 - WATER IN THE ATMOSPHERE HUMIDITY CLOUDS EVAPORATION PRECIPITATION (1,424)
 - WINDS AND THEIR EFFECTS IN THE LOWER ATMOSPHERE (859)
- [更多选项/分类...](#)

▼ 文献类型 [精炼](#)

- JOURNAL PAPER (2,327)
 - CONFERENCE PAPER (1,847)
 - CONFERENCE PROCEEDINGS (28)
 - BOOK CHAPTER (7)
 - BOOK (3)
- [更多选项/分类...](#)

▶ 作者 2012/4/10

▶ 编者

▶ 来源出版物

所有数据库

选择一个数据库

Inspec

其他资源

检索

高级检索

检索历史

Inspec[®]

<< 返回结果列表

第 1 条, 共 9,797 条

全文

Links

Shanghai Jiaotong University

转至

+ (0)



保存为:

EndNote Web

EndNote

ResearcherID

更多选项

Degree of Polarization at Simultaneous Transmit: Theoretical Aspects

作者: Galletti, M.; Zrnice, D.S.

来源出版物: IEEE Geoscience and Remote Sensing Letters 卷: 9 期: 3 页: 383-7 出版年: May 2012 DOI: 10.1109/LGRS.2011.2170150

摘要: We consider weather radar measurements at simultaneous transmission and simultaneous reception of horizontal and vertical polarizations and show that the degree of polarization at simultaneous transmit (ρ_s) is related to differential reflectivity and copolar correlation coefficient at simultaneous transmit (namely, Z_{DR} s and ρ_{hy} s). We evaluate the potential of degree of polarization at simultaneous transmit for weather radar applications.

Ultimately, we explore the consequences of adjusting the transmit polarization state of dual-polarization weather radars to circular polarization.

入藏号: 12575019

文献类型: Journal Paper

语种: English

处理类型: Theoretical or Mathematical

受控索引: meteorological radar; radar polarimetry; reflectivity

非受控索引: weather radar measurements; vertical polarization; horizontal polarization; simultaneous transmit; differential reflectivity; copolar correlation coefficient; radar applications; dual-polarization weather radars; circular polarization

分类代码: A9385 Instrumentation and techniques for geophysical, hydrospheric and lower atmosphere research; B7710B Atmospheric, ionospheric and magnetospheric techniques and equipment; B6320 Radar equipment, systems and applications

国际专利分类: G01V

作者地址: Galletti, M.; Dept. of Environ. Sci., Brookhaven Nat. Lab., Upton, NY, USA.; Zrnice, D.S.; Nat. Severe Storms Lab., Nat. Oceanic & Atmos. Adm., Norman, OK, USA.

出版商: IEEE, USA

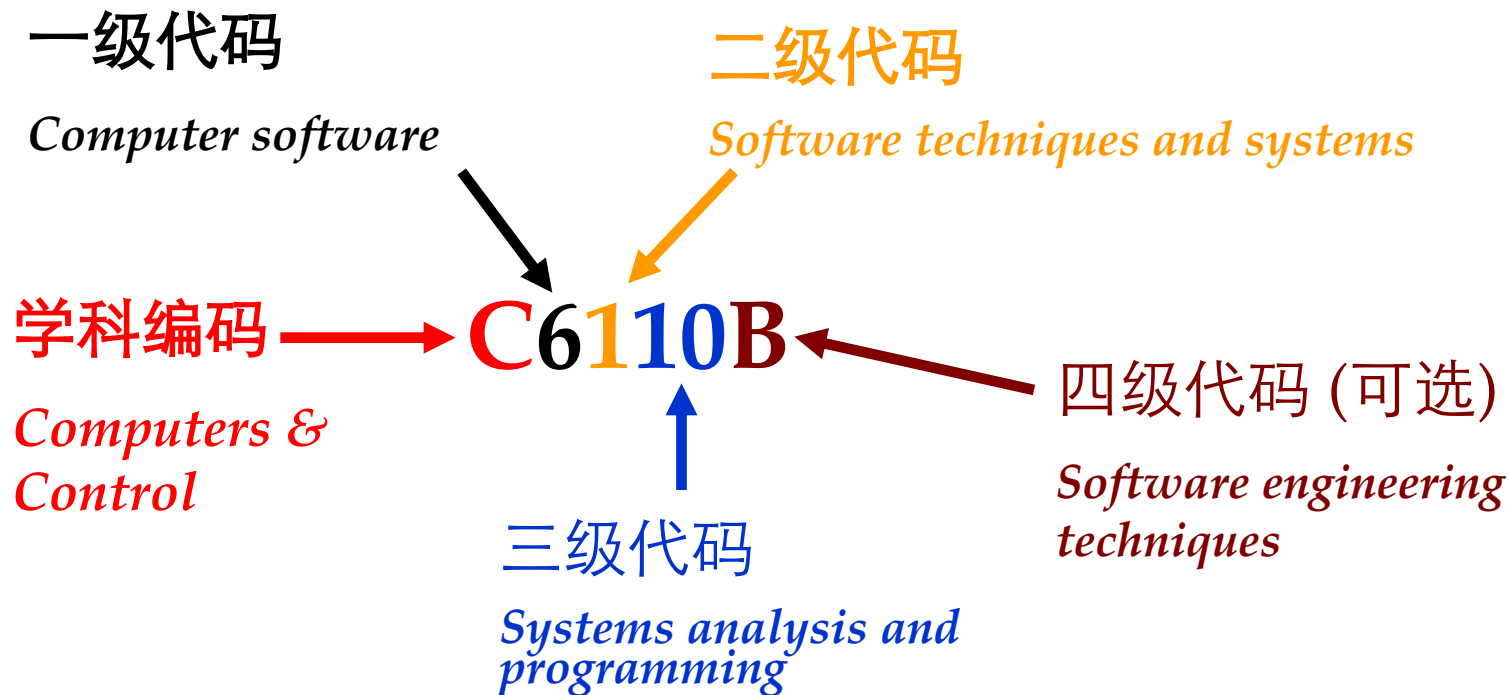
参考日期: 2012/4/10

CODEN: IGRSBY

ISSN: 1545-598X



Inspec 检索字段 —— 分类代码





选择“分类”——点击右侧放大镜按钮，即可进入分类表

浏览分类分层结构

关键词: = 添加到检索式 = 查看覆盖范围说明



顺层浏览

一级代码

二级代码

三级代码

四级代码

- Physics
- Electrical Engineering & Electronics
 - B0000 General topics, engineering mathematics and materials science
 - B1000 Circuit theory and circuits
 - B2000 Components, electron devices and materials
 - B3000 Magnetic and superconducting materials and devices
 - B4000 Optical materials and applications, electro-optics and optoelectronics
 - B5000 Electromagnetic fields
 - B6000 Communications
 - B6100 Information and communication theory
 - B6200 Telecommunication
 - B6210 Telecommunication applications
 - B6210C Network management
 - B6210D Telephony
 - B6210F Telegraphy
 - B6210G Electronic mail
 - B6210H Facsimile transmission
 - B6210J Telemetry
 - B6210K Viewdata and teletext
 - B6210L Computer communications
 - B6210M ISDN
 - B6210P Teleconferencing
 - B6210Q Intelligent networks
 - B6210R Multimedia communications
 - B6210Z Other data transmission
 - B6215 Telecommunication power supplies
 - B6220 Stations and subscriber equipment
 - B6230 Switching centres and equipment
 - B6240 Transmission line links and equipment
 - B6250 Radio links and equipment
 - B6260 Optical communication
 - B6270 Other telecommunication systems and equipment
 - B6300 Radar and radionavigation
 - B6400 Radio, television and audio
- B7000 Instrumentation and special applications
- B8000 Power systems and applications

2012/4/10

Inspec 分类

使用“查找”和“浏览”功能可查找要添加到检索式中的代码。

输入文本可查找包含该文本或与之相关的分类。

例如: 输入 thermo* 可查找 A0720D Thermometry 和 A8260 Chemical thermodynamics

输入词检索

在检索框中输入一个词或者词组进行分类代码查找检索

检索结果第 1 页 (第 1-5 个检索词, 共 5 个检索词)

◀ ◀◀ [1] ▶▶ ▶▶

关键词: = 添加到检索式 = 在分层结构中查看 = 查看覆盖范围说明

<input type="button" value="添加"/>	<input type="button" value="H"/>	<input type="button" value="S"/>	B1265F	Microprocessors and microcomputers
<input type="button" value="添加"/>	<input type="button" value="H"/>	<input type="button" value="S"/>	C5130	Microprocessor chips
<input type="button" value="添加"/>	<input type="button" value="H"/>	<input type="button" value="S"/>	C5135	Digital signal processing chips
<input type="button" value="添加"/>	<input type="button" value="H"/>	<input checked="" type="button" value="S"/>	C5250	Microcomputer techniques
<input type="button" value="添加"/>	<input type="button" value="H"/>	<input type="button" value="S"/>	C5430	Microcomputers

Scope note 为您在检索中新增或替换代码提供了指导。

检索结果第 1 页 (第 1-5 个检索词, 共 5 个检索词)

◀ ◀◀ [1] ▶▶ ▶▶

KEY: = add to query = view in hierarchy = view scope notes

Code and Title: **C5250 Microcomputer techniques**

Scope Note: includes development systems and microcomputer boards

See Also Cross Reference: see also B1265F Microprocessors and microcomputers

See Cross Reference: for complete microcomputer systems, see C5430
for microprocessor and microcomputer chips, see C5130

History Scope Notes: 1969-1978: C5280
1979-

相关代码的详细范围信息, 包含说明, 相关参考信息以及历史范围说明等

将以下所选代码传输至“检索”页面上的“分类”字段。



收缩检索

- 分类检索可用于将检索范围从较宽泛的范畴转化到更具体的层面

B6000 Communications

B6100 Information and communication theory

B6200 Telecommunication

B6210 Telecommunication applications

B6215 Telecommunication power supplies

B6220 Stations and subscriber equipment

B6230 Switching centres and equipment

B6240 Transmission line links and equipment

B6250 Radio links and equipment

B6260 Optical communication

B6270 Other telecommunication systems and equipment

B6300 Radar and radionavigation

B6400 Radio, television and audio

B6*

B6000



Inspec 检索字段 —— 分类代码

分类检索提示

- 可用来增加检索相关度
- 如一些具有多种含义的词：
 - e.g., PC microcomputer, printed circuits, programmable controller
- 给一些普通的词赋予一定的内容：
 - e.g. data analysis, mathematics
- 使用非常详细的分类代码（如磁性物质用B3110C）可以得到非常精确具体的检索结果
- 与主题和受控词索引结合使用效果好



(三) 检索气象雷达“实验方法、观测或结果”方面的文章

WEB OF KNOWLEDGESM

DISCOVERY STARTS HERE

[转至移动版网站](#)

[登录](#)

[标记结果列表 \(0\)](#)

[我的 EndNote Web](#)

[我的 ResearcherID](#)

所有数据库

选择一个数据库

Inspec

其他资源

[检索](#)

[高级检索](#)

[检索历史](#)

Inspec[®]

检索

meteorological radar or weather radar

示例: radiowave propagation

检索范围

受控与非受控索引

AND

Bibliography

Economic

Experimental

General or Review

示例: 从上面的列表中选择一项或多项。

检索范围

处理类型

AND

示例: Journal of Optical Technology OR Optical Engineering

检索范围

出版物名称

[添加另一字段 >>](#)

检索

清除

只能进行英文检索

[登录](#)[标记结果列表 \(0\)](#)[我的 EndNote Web](#)[我的 ResearcherID](#)[我的引文跟踪](#)[我已保存的检索](#)[注销](#)[帮助](#)[所有数据库](#)[选择一个数据库](#)

Inspec

[其他资源](#)[检索](#)[高级检索](#)[检索历史](#)Inspec[®]

检索结果 (非受控词索引=(meteorological radar or weather radar) OR 受控索引=(meteorological radar or weather radar) AND 处理类型=(X))

时间跨度=所有年份. 数据库=Inspec.

词形还原=打开

检索结果: **2,304**第 1 页, 共 231 页 [转至](#)排序方式: [出版日期 \(降序\)](#)[打印](#) [邮件](#) 保存为: [EndNote Web](#) [EndNote](#) [ResearcherID](#) [更多选项](#)[分析检索结果](#) 1. 标题: [Resonance Effects Within S-Band in Echoes From Birds](#)

作者: Melnikov V.M.; Lee R.R.; Langlieb N.J.

来源出版物: IEEE Geoscience and Remote Sensing Letters 卷: 9 期: 3 页: 413-16 DOI: 10.1109/LGRS.2011.2169933 出版年: May 2012

[Links](#) [全文](#) [[查看摘要](#)] 2. 标题: [Lunar tides in the mesosphere and lower thermosphere over Cachoeira Paulista \(22.7degS; 45.0degW\)](#)

作者: Paulino A.R.; Batista P.P.; Clemesha R.

来源出版物: Journal of Atmospheric and Solar-Terrestrial Physics 卷: 78-79 页: 31-6 DOI: 10.1016/j.jastp.2011.04.018 出版年: April 2012

[Links](#) [全文](#) [[查看摘要](#)] 3. 标题: [Multiplatform Comparisons of Rain Intensity for Extreme Precipitation Events](#)

作者: Amitai E.; Petersen W.; Llorc X.; 等.

来源出版物: IEEE Transactions on Geoscience and Remote Sensing 卷: 50 期: 3 页: 675-86 DOI: 10.1109/TGRS.2011.2162737 出版年: March 2012

[Links](#) [全文](#) [[查看摘要](#)] 4. 标题: [Real-time vector velocity estimation in Doppler radar networks](#)

作者: Insanic E.; Siqueira P.R.

来源出版物: IEEE Transactions on Geoscience and Remote Sensing 卷: 50 期: 2 页: 568-84 DOI: 10.1109/TGRS.2011.2161767 出版年: Feb. 2012

[Links](#) [全文](#) [[查看摘要](#)] 5. 标题: [Rayleigh Doppler Lidar for Higher Tropospheric and Stratospheric wind Observation](#)

作者: Tang Lei; Wang Cong-Rong; Wu Hai-Bin; 等.

来源出版物: Chinese Physics Letters 卷: 29 期: 1 页: 014213 (4 pp.) DOI: 10.1088/0256-307X/29/1/014213 出版年: Jan. 2012

[Links](#) [全文](#) [[查看摘要](#)] 6. 标题: [Synthetic Signatures of Volcanic Ash Cloud Particles From X-Band Dual-Polarization Radar](#)

作者: Marzano F.S.; Picciotti E.; Vulpiani G.; 等.

来源出版物: IEEE Transactions on Geoscience and Remote Sensing 卷: 50 期: 1 页: 193-211 DOI: 10.1109/TGRS.2011.2159225 出版年: Jan. 2012

[Links](#) [全文](#) [[查看摘要](#)]

精炼检索结果

结果内检索

 [检索](#)

▼ 分类

[精炼](#) ATMOSPHERIC IONOSPHERIC AND MAGNETOSPHERIC TECHNIQUES AND EQUIPMENT (1,711) RADAR EQUIPMENT SYSTEMS AND APPLICATIONS (1,545) INSTRUMENTATION AND TECHNIQUES FOR GEOPHYSICAL HYDROSPHERIC AND LOWER ATMOSPHERE RESEARCH (1,451) WATER IN THE ATMOSPHERE HUMIDITY CLOUDS EVAPORATION PRECIPITATION (1,008) WINDS AND THEIR EFFECTS IN THE LOWER ATMOSPHERE (822)[更多选项/分类...](#)

▼ 文献类型

[精炼](#) JOURNAL PAPER (1,649) CONFERENCE PAPER (822) REPORT (8) CONFERENCE PROCEEDINGS (2)[更多选项/分类...](#)

▶ 作者

▶ 编者 2012/4/10

▶ 来源出版物

▶ 学科类别



Inspec 检索字段 —— 处理类型

处理类型：不能单独检索，只能限定

- Applications (a)：仪器、设备的应用
- Bibliographic(b)：含有参考文献数超过50条，作为行业书目使用
- Economic (e)：经济、商业上的应用如：市场预测、价格、趋势
- Experimental (x)：实验方法、观测或结果
- General or Review (g)：综述
- New Developments (n)：包括新的可能转变为专利的技术
- Practical (p)：实际应用，对工程师和设计人员有用
- Product Review (r)：同类产品比较、购买指南
- Theoretical /Mathematical(t)：理论或数学计算



(四) 检索工作在30~3000MHz频段的气象雷达的相关研究

WEB OF KNOWLEDGESM | DISCOVERY STARTS HERE

转至移动版网站

登录

标记结果列表 (0)

我的 EndNote Web

我的 ResearcherID

所有数据库

选择一个数据库

Inspec

其他资源

检索

高级检索

检索历史

Inspec[®]

检索

meteorological radar or weather radar

示例: radiowave propagation

检索范围

受控与非受控索引

AND

3.0E+07

to

3.0E+09

示例: temperature (kelvin) 1.0E+03 to 1.9E+03

检索范围

frequency (hertz)

AND

示例: Journal of Optical Technology OR Optical Engineering

检索范围

出版物名称

添加另一字段 >>

检索

清除

只能进行英文检索

所有数据库 | 选择一个数据库

Inspec

其他资源

检索 | 高级检索 | 检索历史

Inspec[®]

检索结果 (非受控索引=(meteorological radar or weather radar) OR 受控索引=(meteorological radar or weather radar)) AND Frequency=(3.0E+07 3.0E+09)

时间跨度=所有年份. 数据库=Inspec.

词形还原=打开

检索结果 176

第 1 页, 共 18 页 转到

排序方式: 出版日期 (降序)

保存为: EndNote Web | EndNote | ResearcherID 更多选项

分析检索结果

精炼检索结果

结果内检索

检索

分类 精炼

RADAR EQUIPMENT SYSTEMS AND APPLICATIONS (151)

ATMOSPHERIC IONOSPHERIC AND MAGNETOSPHERIC TECHNIQUES AND EQUIPMENT (146)

INSTRUMENTATION AND TECHNIQUES FOR GEOPHYSICAL HYDROSPHERIC AND LOWER ATMOSPHERE RESEARCH (124)

WINDS AND THEIR EFFECTS IN THE LOWER ATMOSPHERE (71)

WATER IN THE ATMOSPHERE HUMIDITY CLOUDS EVAPORATION PRECIPITATION (58)

更多选项/分类...

文献类型 精炼

JOURNAL PAPER (132)

CONFERENCE PAPER (80)

更多选项/分类...

作者

编者 2012/4/10

来源出版物

学科类别

- 1. 标题: **Observations of temperature profiles by 443 MHz wind profiling radar using a radio acoustic sounding system in Okinawa**
作者: Shinoda T.; Furumoto J.-i.; Satoh S.; 等.
来源出版物: Journal of Atmospheric and Solar-Terrestrial Physics 卷: 73 期: 9 页: 1010-19 DOI: 10.1016/j.jastp.2010.08.013 出版年: June 2011
[Links] [全文] [查看摘要]
- 2. 标题: **Observational study on diurnal precipitation cycle in equatorial Indonesia using 1.3-GHz wind profiling radar network and TRMM precipitation radar**
作者: Tabata Y.; Hashiguchi H.; Yamamoto M.K.; 等.
来源出版物: Journal of Atmospheric and Solar-Terrestrial Physics 卷: 73 期: 9 页: 1031-42 DOI: 10.1016/j.jastp.2010.10.003 出版年: June 2011
[Links] [全文] [查看摘要]
- 3. 标题: **Meso-gamma-scale convective systems observed by a 443-MHz wind-profiling radar with RASS in the Okinawa subtropical region**
作者: Mikami A.; Kawabata T.; Satoh S.; 等.
来源出版物: Journal of Atmospheric and Solar-Terrestrial Physics 卷: 73 期: 9 页: 996-1009 DOI: 10.1016/j.jastp.2010.07.010 出版年: June 2011
[Links] [全文] [查看摘要]
- 4. 标题: **A dual-polarized patch antenna for weather radar applications**
作者: Fulton C.; Chappell W.
会议信息: 2011 IEEE International Conference on Microwaves, Communications, Antennas and Electronic Systems (COMCAS 2011) 会议地点: Tel Aviv, Israel
会议日期: 7-9 Nov. 2011
来源出版物: 2011 IEEE International Conference on Microwaves, Communications, Antennas and Electronic Systems (COMCAS 2011) 页: 5 pp. DOI: 10.1109/COMCAS.2011.6105940 出版年: 01 2011
[Links] [查看摘要]
- 5. 标题: **Communication Module Design for GPS Radiosonde System Based on DSP**
作者: Gao Ling-na; Yao Zhen-dong
来源出版物: Telecommunication Engineering 卷: 50 期: 6 页: 50-3 DOI: 10.3969/j.issn.1001-893x.2010.06.011 出版年: June 2010
[Links] [查看摘要]

[全文](#) [Links](#) Shanghai Jiaotong University [转至](#)[+](#) [\(0\)](#) [打印](#) [邮件](#) 保存为: [EndNote Web](#) [EndNote](#) [ResearcherID](#) [更多选项](#)

Observations of temperature profiles by 443 MHz wind profiling radar using a radio acoustic sounding system in Okinawa

作者: Shinoda, T.; Furumoto, J.-i.; Satoh, S.; Nagai, S.; Murayama, Y.; Tsuda, T.

来源出版物: Journal of Atmospheric and Solar-Terrestrial Physics 卷: 73 期: 9 页: 1010-19 出版年: June 2011 DOI: 10.1016/j.jastp.2010.08.013

摘要: The present study is devoted to developing a radio acoustic sounding system (RASS) for the 443MHz wind profiling radar (443MHz WPR) installed at the Ogimi Wind Profiler Facility of the National Institute of Information and Communications Technology (NICT) in Okinawa, Japan. We used four fixed horns attached to the sides of the 443MHz WPR antenna. Additional 15 portable horn speakers were also installed to transmit acoustic waves at frequencies of 900-1050Hz, which is suitable for the 443MHz WPR with RASS (443MHz WPR/RASS) observation. We also developed the software to switch active speakers adaptively by considering the real-time raytracing results of acoustic wavefronts. In the software, four fixed speakers are always activated and several portable speakers are selectively used in order to efficiently obtain strong RASS echoes. Aiming at unmanned operation of the 443MHz WPR/RASS, a remote control and monitoring system for 443MHz WPR/RASS observation and a data processing system to derive virtual temperature profiles were developed. Virtual temperature profiles obtained using the 443MHz WPR/RASS were evaluated by comparison with the data from radiosondes launched from the radar site in 2006. [All rights reserved Elsevier].

入藏号: 12036522

文献类型: Journal Paper

语种: English

处理类型: Practical, Experimental

受控索引: [acoustic wave transmission](#); [atmospheric measuring apparatus](#); [meteorological radar](#)

非受控索引: radio acoustic sounding system; wind profiling radar; Ogimi Wind Profiler Facility; National Institute of Information and Communications Technology; Okinawa; Japan; WPR antenna; portable horn speakers; active speakers; real-time raytracing; acoustic wavefronts; strong RASS echoes; remote control system; monitoring system; data processing system; virtual temperature profiles; radiosondes; radar site; frequency 443 MHz

分类代码: [A9385](#) Instrumentation and techniques for geophysical, hydrospheric and lower atmosphere research; [A4328](#) Aeroacoustics and atmospheric sound; [A9330D](#) Asia; [A9365](#) Data and information; acquisition, processing, storage and dissemination in geophysics; [B7710B](#) Atmospheric, ionospheric and magnetospheric techniques and equipment; [B6320](#) Radar equipment, systems and applications

数值数据索引: frequency 4.43E+08 Hz

国际专利分类: G01V

作者地址: Shinoda, T.; Furumoto, J.-i.; Tsuda, T.; Res. Inst. for Sustainable Humanosphere, Kyoto Univ., Kyoto, Japan.; Satoh, S.; Nagai, S.; Murayama, Y.; Nat. Inst. of Inf. & Commun. Technol., Koganei, Japan.

出版商: Elsevier Science Ltd., UK

参考文献数: 21

CODEN: JASPF3

ISSN: 1364-6826

文献号: S1364-6826(10)00246-4



Inspect 检索字段 —— 数值索引

数值索引

- 数值索引字段采用了一系列标准数值和单位，或者数值叙词，以帮助读者检索不同数据格式的相关文献。
- 物理量单位使用标准单位，
age(year)，单位是年
temperature (Kelvin)，单位是开尔文
altitude (meter)，单位是米
- 输入的值可以是整数、小数或以科学记数法表示的值。
数值按科学记数法表示：
 $1.5E+03 = 1500$
 $3.2E-02 = 0.032$



- e.g. 检索距离大于等于6英里的相关记录
- 首先应将计量单位由英里转化为米(6 英里= 9,656米)
- 然后选择表示距离的字段标识 (distance(meter))
- 左侧检索框输入： 9,656 或9.656E+03.

- 一般与主题字段结合检索



(五) 检索使用了Nd:YAG激光器的气象雷达方面的研究

Nd:YAG激光器：以掺有一定量钕离子(Nd³⁺)的钇铝石榴石(YAG)晶体为工作物质的激光器,称为掺钕钇铝石榴石(Nd:YAG)激光器。掺钕激光器是当前应用最广泛的固体器件之一,在激光加工、医疗、军事等领域应用广泛。

WEB OF KNOWLEDGESM

DISCOVERY STARTS HERE

转至移动版网站

登录

标记结果列表 (0)

我的 EndNote Web

我的 ResearcherID

所有数据库

选择一个数据库

Inspec

其他资源

检索

高级检索

检索历史

Inspec[®]

检索

meteorological radar or weather radar

示例: radiowave propagation

检索范围

受控与非受控索引

AND

nd/dop

示例: Pd (select "surface or substrate" as a role)

检索范围

混合物

AND

示例: Journal of Optical Technology OR Optical Engineering

检索范围

出版物名称

添加另一字段 >>

2012/4/10

检索

清除

只能进行英文检索

所有数据库 选择一个数据库

Inspec

其他资源

[检索](#) | [高级检索](#) | [检索历史](#)
Inspec[®]

检索结果 (非受控索引=(meteorological radar or weather radar) OR 受控索引=(meteorological radar or weather radar)) AND 化学物质索引=(nd/dop)

出版时间=所有年份 数据库=Inspec.

词形还原=打开

检索结果 17

 第 1 页, 共 2 页 [转至](#)

排序方式:

精炼检索结果

结果内检索

 [检索](#)

▼ 分类

[精炼](#)

- A9385 (17)
- INSTRUMENTATION AND TECHNIQUES FOR GEOPHYSICAL HYDROSPHERIC AND LOWER ATMOSPHERE RESEARCH (17)
- B6320C (16)
- OPTICAL RADAR (16)
- ATMOSPHERIC IONOSPHERIC AND MAGNETOSPHERIC TECHNIQUES AND EQUIPMENT (15)

[更多选项/分类...](#)

▼ 文献类型

[精炼](#)

- CONFERENCE PAPER (11)
- JOURNAL PAPER (7)

[更多选项/分类...](#)

▶ 作者

▶ 编者

▶ 来源出版物

▶ 学科类别

▶ 出版年 2012/4/10

▶ 处理类型

▶ 受控词索引

 保存为: [EndNote Web](#) [EndNote](#) [ResearcherID](#) [更多选项](#)

- 标题: [High spatial and temporal resolution mobile incoherent Doppler lidar for sea surface wind measurements](#)
 作者: Zhi-Shen Liu; Bing-Yi Liu; Song-Hua Wu; 等.
 来源出版物: Optics Letters 卷: 33 期: 13 页: 1485-7 DOI: 10.1364/OL.33.001485 出版年: 1 July 2008
[→Links](#) [→全文](#) [[田 查看摘要](#)]
- 标题: [Multiwavelength lidar for measurements of atmospheric aerosol](#)
 作者: Chudzynski S.; Czyzewski A.; Ernst K.; 等.
 来源出版物: Optics and Lasers in Engineering 卷: 37 期: 2-3 页: 91-9 DOI: 10.1016/S0143-8166(01)00091-4 出版年: Feb.-March 2002
[→Links](#) [→全文](#) [[田 查看摘要](#)]
- 标题: [A powerful transportable Rayleigh-Mie-Raman lidar system](#)
 作者: Congeduti F.; Medaglia C.M.; D'Aulerio P.; 等.
 编者: Bissonnette L.R.; Roy G.; Vallee G.
 会议信息: Proceedings of International Laser Radar Conference 会议地点: Quebec, Que., Canada 会议日期: 8-12 July 2002
 来源出版物: Lidar Remote Sensing in Atmospheric and Earth Sciences. Reviewed and Revised Papers presented at the Twenty-First International Laser Radar Conference (ILRC21) 页: 23-6 vol.1 出版年: 01 2002
[→Links](#) [[田 查看摘要](#)]
- 标题: [A four-wavelength lidar measurements of upper-tropospheric and stratospheric aerosol and ozone in Beijing](#)
 作者: Jinhuan Qui; Siping Zheng; Qilin Xia; 等.
 编者: Bissonnette L.R.; Roy G.; Vallee G.
 会议信息: Proceedings of International Laser Radar Conference 会议地点: Quebec, Que., Canada 会议日期: 8-12 July 2002
 来源出版物: Lidar Remote Sensing in Atmospheric and Earth Sciences. Reviewed and Revised Papers presented at the Twenty-First International Laser Radar Conference (ILRC21) 页: 401-2 vol.1 出版年: 01 2002
[→Links](#) [[田 查看摘要](#)]
- 标题: [UV ozone dial based on a N₂ Raman converter: design and results during ESCOMPTE field campaign](#)
 作者: Simeonov V.; Calpini B.; Ristori P.; 等.
 编者: Bissonnette L.R.; Roy G.; Vallee G.
 会议信息: Proceedings of International Laser Radar Conference 会议地点: Quebec, Que., Canada 会议日期: 8-12 July 2002
 来源出版物: Lidar Remote Sensing in Atmospheric and Earth Sciences. Reviewed and Revised Papers presented at the Twenty-First International Laser Radar Conference (ILRC21) 页: 403-6 vol.1 出版年: 01 2002
[→Links](#) [[田 查看摘要](#)]

所有数据库 选择一个数据库

Inspec

其他资源

检索 高级检索 检索历史

Inspec[®]

<< 返回结果列表

第 1 条, 共 17 条

全文 Links Shanghai Jiaotong University 转至

+ (0) 打印 邮件 保存为: EndNote Web EndNote ResearcherID 更多选项

High spatial and temporal resolution mobile incoherent Doppler lidar for sea surface wind measurements

作者: Zhi-Shen Liu; Bing-Yi Liu; Song-Hua Wu; Zhi-Gang Li; Zhang-Jun Wang

来源出版物: Optics Letters 卷: 33 期: 13 页: 1485-7 出版年: 1 July 2008 DOI: 10.1364/OL.33.001485

摘要: A mobile Doppler lidar based on an injection-seeded diode-pumped Nd:YAG pulsed laser with a high repetition rate was developed to measure the sea surface wind (SSW) with high spatial and temporal resolution. The system was operated during the 2007 Qingdao International Regatta to measure the distribution of SSW in the racing area in real time with 50-100 m horizontal resolution and 2-10 min temporal resolution. An observation of nonuniform distribution of SSW is presented. The lidar results are compared with both buoy and wind tower measurements, which show good agreement. This lidar can be used advantageously for the 2008 Olympic sailing games as well as for observing mesoscale and microscale meteorology processes.

入藏号: 10103119

文献类型: Journal Paper

语种: English

处理类型: Practical

受控索引: meteorological radar; oceanographic techniques; optical radar; wind

非受控索引: mobile incoherent Doppler LIDAR; sea surface wind measurements; Qingdao International Regatta; Olympic sailing games; meteorology processes; YAG:Nd

分类代码: A9385 Instrumentation and techniques for geophysical, hydrospheric and lower atmosphere research; B7710D Oceanographic and hydrological techniques and equipment; B6320C Optical radar

化学物质索引: Y3AI5O12:Nd/ss Y3AI5O12/ss AI5O12/ss O12/ss AI5/ss Y3/ss AI/ss Nd/ss O/ss Y/ss Nd/el Nd/dop

作者地址: Zhi-Shen Liu; Bing-Yi Liu; Song-Hua Wu; Zhi-Gang Li; Zhang-Jun Wang; Key Lab. of Ocean Remote Sensing, Ocean Univ. of China, Qingdao, China.

出版商: Optical Society of America, USA

参考文献数: 8

CODEN: OPLEDP

ISSN: 0146-9592



Inspec 检索字段 —— 化学索引

化学索引:

- INSPEC化学索引字段是检索无机物和材料的受控索引系统。它主要是为了克服使用自然语言检索化学物质引起的一系列问题。
- 包括:
 - 用各种方式表示的非化学计量的化合物或合金。
例如, GaAlAs or $\text{Ga}_x\text{Al}_{(1-x)}\text{As}$
 - 与普通英文单词有相同拼写的化学式。
例如, Gallium Phosphide (GaP) – gap
or Indium (In) – in.
 - 字母相同但大小写不同的化学式。
例如, Co (Cobalt) or CO (Carbon Monoxide)



Inspec 检索字段 —— 化学索引

控制词结构代码	意义	例子
el (element)	元素	CO/bin... Co/el
bin(binary system)	两种元素组成的化合物	NaCl/bin KCl/bin...
ss(system with 3 or more components)	三种以上元素组成的系统	Ga/ss Al/ssAs/ss Al/bin As/bin

int(interface)	界面系统
sur(surface or substrate)	表面或基底
ads(adsorbate or sorbate)	被吸附物
dop(dopant)	掺杂物



化学索引检索说明

- 当检索某一个具有简单的分子式的化合物，（例如H₂SO₄）最好直接检索该物质及其角色
- 当检索的物质种元素的位置是可变的或者顺序未知时（如半导体材料，合金，混合物等），最好考虑所有可能的分子式变化形式。因此使用某一组分作为检索会有比较好的结果

e.g. 铝砷化镓 (aluminium gallium arsenide)

- GaAlAs ;
- AlGaAs ;
- Ga_xAl_{1-x}As
- (GaAs)_{0.5}(AlAs)_{0.5}

检索：选择SS结构代码，(ga/ss same al/ss same as/ss)

- 与其他字段结合使用



检索字段小结

控制词索引 – 标准化的关键词索引

- 检索尽可能多的相关文章
- 移除不相关的文章

分类代码 – 数字化的树形学科分类索引

- 可浏览树形结构分类以缩小、扩充检索领域
- 可检索本领域内所有相关文献

处理代码 – 按内容划分文献类型的索引

- 将所有文献分为九大类：
应用 / 引文 / 经济 / 实验 / 一般性综述 / 新发展 / 实用 / 产品评述 / 理论

数值索引 – 以数值为标签的索引

- 根据特定单位、特定数值细化检索

化学索引 – 以化学元素为标签的索引

- 根据指定化学元素、化合物等细化检索

所有数据库 | 选择一个数据库

Inspec

其他资源

检索 | 高级检索 | 检索历史

Inspec[®]

检索历史

检索式	检索结果	保存检索历史/创建跟踪	打开保存的检索历史	组配检索式	删除检索式
# 11	17 (非受控索引=(meteorological radar or weather radar) OR 受控索引=(meteorological radar or weather radar)) AND 化学物质索引=(nd/dop) 数据库=Inspec 时间跨度=所有年份 词形还原=打开	<input type="checkbox"/>	<input type="checkbox"/>	<input type="checkbox"/>	<input type="checkbox"/>
# 10	176 (非受控索引=(meteorological radar or weather radar) OR 受控索引=(meteorological radar or weather radar)) AND Frequency=(3.0E+07 3.0E+09) 数据库=Inspec 时间跨度=所有年份 词形还原=打开	<input type="checkbox"/>	<input type="checkbox"/>	<input type="checkbox"/>	<input type="checkbox"/>
# 9	2,304 (非受控索引=(meteorological radar or weather radar) OR 受控索引=(meteorological radar or weather radar)) AND 处理类型=(X) 数据库=Inspec 时间跨度=所有年份 词形还原=打开	<input type="checkbox"/>	<input type="checkbox"/>	<input type="checkbox"/>	<input type="checkbox"/>
# 8	140 (非受控索引=(meteorological radar or weather radar) OR 受控索引=(meteorological radar or weather radar)) AND 处理类型=(N) 数据库=Inspec 时间跨度=所有年份 词形还原=打开	<input type="checkbox"/>	<input type="checkbox"/>	<input type="checkbox"/>	<input type="checkbox"/>
# 7	244 (非受控索引=(meteorological radar or weather radar) OR 受控索引=(meteorological radar or weather radar)) AND 处理类型=(A) 数据库=Inspec 时间跨度=所有年份 词形还原=打开	<input type="checkbox"/>	<input type="checkbox"/>	<input type="checkbox"/>	<input type="checkbox"/>
# 6	3,919 (非受控索引=(meteorological radar or weather radar) OR 受控索引=(meteorological radar or weather radar)) AND 分类=(B6*) 数据库=Inspec 时间跨度=所有年份 词形还原=打开	<input type="checkbox"/>	<input type="checkbox"/>	<input type="checkbox"/>	<input type="checkbox"/>
# 5	5,122 #3 NOT #4 数据库=Inspec 时间跨度=所有年份 词形还原=打开	<input type="checkbox"/>	<input type="checkbox"/>	<input type="checkbox"/>	<input type="checkbox"/>
# 4	4,675 (非受控索引=(meteorological radar or weather radar) OR 受控索引=(meteorological radar or weather radar)) 数据库=Inspec 时间跨度=所有年份 词形还原=打开	<input type="checkbox"/>	<input type="checkbox"/>	<input type="checkbox"/>	<input type="checkbox"/>
# 3	9,797 2012/4/10 主题=(meteorological radar or weather radar or meteorologic radar) 数据库=Inspec 时间跨度=所有年份 词形还原=打开	<input type="checkbox"/>	<input type="checkbox"/>	<input type="checkbox"/>	<input type="checkbox"/>

AND OR



Inspec 检索字段 —— 天文学对象

- 天文学对象是从1995年起加入到INSPEC索引项中的，使用它可以更有效地检索被命名和被编号的天体。

- 基于名字的首字母缩写

LMC是Large Magellanic Cloud的首字母缩写。

- 基于天体目录的包含了目录首字母缩写

基于目录的天体包含了目录首字母缩写以及其后列出的编目流水号
例如NGC 204或者为天空中某一个近似的位置，

- 仅给出位置信息

013022+30233

- 注: INSPEC根据由International Astronomical Union.提供的指南而编制，您可以通过联系INSPEC获得名为“Nomenclature of Astronomical Catalogue Designations”，其作用相当于叙词表



其他检索字段

标题	期刊论文标题、会议录标题、会议论文标题、书名、报告名、论文名或者专利名。 对于非英语种标题，提供了英语翻译。
作者	姓名通常显示为姓，随后是名的首字母缩写 亚洲人的作者姓名通常与原文中一致。建议检索亚洲人姓名时考虑不同的写法 zhao zhong xian Zhao zhong xian; Zhao zhongxian; zhong xian zhao; zhongxian zhao; zhao z.x.; zhao z.-x.; zhao zx ; zhao z x ; zhongxian z
出版物名称	应输入来源文献全标题或者截词。“source list”
地址	包含了第一作者的部分地址信息。该信息通常包括部门、机构名称、城市名和国家。 很多地址词为缩写形式
出版年	文献出版年份，如1999
会议信息	包含会议标题、召开地点、主办者以及召开日期
识别码	CODEN, CODEN of translation, INSPEC 存取号, ISSN, ISSN of translation, 标准书号, 报告号, 合同号
语种	原文语种
文献类型	会议论文、期刊论文或图书、专利、报告…

检索结果分析

Inspec[®]

检索结果 非受控索引=(meteorological radar or weather radar) OR 受控索引=(meteorological radar or weather radar)
时间跨度=所有年份. 数据库=Inspec.
词形还原=打开

各种排序方式

检索结果: **4,675** << 第 1 页, 共 468 页 转至 >>

分析检索结果

排序方式: 出版日期 (降序)

精炼检索结果

二次检索

多种字段精炼

- 结果内检索
- 分类
- ATMOSPHERIC IONOSPHERIC AND MAGNETOSPHERIC TECHNIQUES AND EQUIPMENT (3,588)
 - RADAR EQUIPMENT SYSTEMS AND APPLICATIONS (3,369)
 - INSTRUMENTATION AND TECHNIQUES FOR GEOPHYSICAL HYDROSPHERIC AND LOWER ATMOSPHERE RESEARCH (2,930)
 - WATER IN THE ATMOSPHERE HUMIDITY CLOUDS EVAPORATION PRECIPITATION (1,737)
 - WINDS AND THEIR EFFECTS IN THE LOWER ATMOSPHERE (1,030)
- 更多选项/分类...
- 文献类型
- JOURNAL PAPER (2,935)
 - CONFERENCE PAPER (2,033)
 - CONFERENCE PROCEEDINGS (37)
 - REPORT (10)
 - BOOK CHAPTER (7)
- 更多选项/分类...

作者: 2012/4/10
编者
来源出版物

(0) | 保存为: EndNote Web | EndNote | ResearcherID | 更多选项

- 标题: **Simulation at Simultaneous Transmit: Theoretical Aspects**
作者: ...
来源出版物: Geoscience and Remote Sensing Letters 卷: 9 期: 3 页: 383-7 DOI: 10.1109/LGRS.2011.2170150 出版年: May 2012
2. 标题: **Resonance Effects Within S-Band in Echoes From Birds**
作者: Melnikov V.M.; Lee R.R.; Langlieb N.J.
来源出版物: IEEE Geoscience and Remote Sensing Letters 卷: 9 期: 3 页: 413-16 DOI: 10.1109/LGRS.2011.2169933 出版年: May 2012
3. 标题: **Lunar tides in the mesosphere and lower thermosphere over Cachoeira Paulista (22.7degS; 45.0degW)**
作者: Paulino A.R.; Batista P.P.; Clemesha R.
来源出版物: Journal of Atmospheric and Solar-Terrestrial Physics 卷: 78-79 页: 31-6 DOI: 10.1016/j.jastp.2011.04.018 出版年: April 2012
4. 标题: **Multiplatform Comparisons of Rain Intensity for Extreme Precipitation Events**
作者: Amitai E.; Petersen W.; Lloft X.; 等.
来源出版物: IEEE Transactions on Geoscience and Remote Sensing 卷: 50 期: 3 页: 675-86 DOI: 10.1109/TGRS.2011.2162737 出版年: March 2012
5. 标题: **Modeling Polarimetric Response of Spaceborne Synthetic Aperture Radar Due to Precipitating Clouds From X- to Ka-Band**
作者: Marzano F.S.; Mori S.; Weinman J.A.; 等.
来源出版物: IEEE Transactions on Geoscience and Remote Sensing 卷: 50 期: 3 页: 687-703 DOI: 10.1109/TGRS.2011.2163942 出版年: March 2012
6. 标题: **Efficient ways to learn weather radar polarimetry**
作者: Qing Cao; Yeary M.B.; Guifu Zhang
来源出版物: IEEE Transactions on Education 卷: 55 期: 1 页: 58-68 DOI: 10.1109/TE.2011.2118211 出版年: Feb. 2012

[登录](#)[标记结果列表 \(0\)](#)[我的 Endnote Web](#)[我的 ResearcherID](#)[我的期刊列表](#)[我已保存的检索](#)[注销](#)[帮助](#)

结果分析

[<<返回上一页](#)

4,675 records. 非受控词索引=(meteorological radar or weather radar) OR 受控索引=(meteorological radar or weather radar)

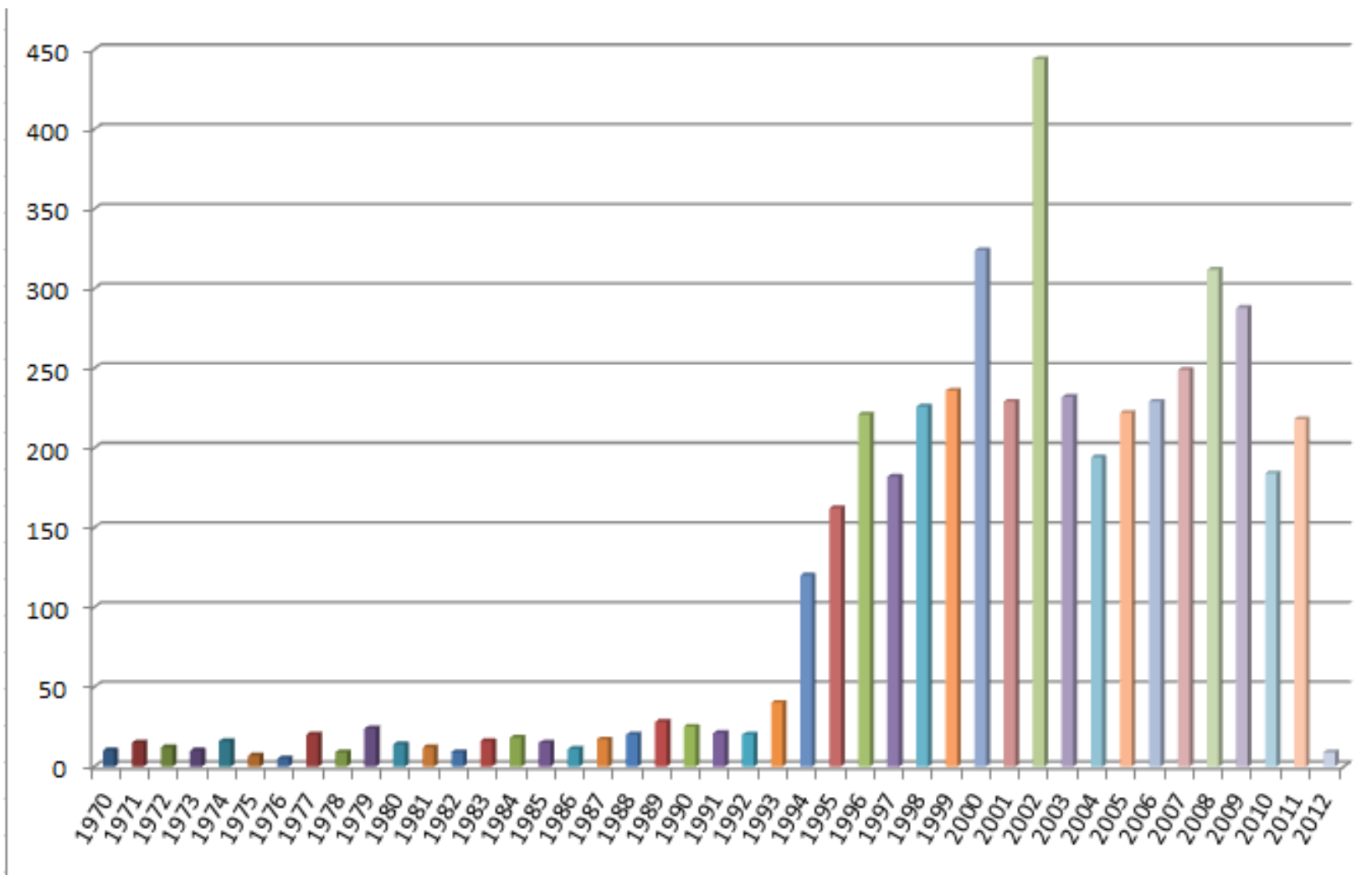
根据此字段排列记录:	设置显示选项:	排序方式:
<ul style="list-style-type: none">作者分类受控词索引国家/地区	显示前 <input type="text" value="10"/> 个分析结果. 最少记录数 (阈值): <input type="text" value="2"/>	<input checked="" type="radio"/> 记录数 <input type="radio"/> 已选字段

[分析](#)

- 作者
- 分类
- 受控词索引
- 国家/地区
- 文献类型
- 编者
- 语种
- 出版年
- 来源出版物
- 学科类别
- 处理类型



出版年分析——了解课题发展趋势





了解该课题的核心研究人员是谁

→ 查看记录 × 排除记录	字段: 作者	记录 计数	%, 共 4675
<input type="checkbox"/>	CHANDRASEKAR V	146	3.123 %
<input type="checkbox"/>	IGUCHI T	74	1.583 %
<input type="checkbox"/>	ZRNIC D S	64	1.369 %
<input type="checkbox"/>	KOZU T	59	1.262 %
<input type="checkbox"/>	ANONYMOUS	51	1.091 %
<input type="checkbox"/>	IM E	51	1.091 %
<input type="checkbox"/>	FUKAO S	50	1.070 %
<input type="checkbox"/>	YANOVSKY F J	46	0.984 %
<input type="checkbox"/>	LONG D G	45	0.963 %
<input type="checkbox"/>	DURDEN S L	44	0.941 %

→ 查看记录 × 排除记录	字段: 来源出版物	记录 计数	%, 共 4675
<input type="checkbox"/>	JOURNAL OF ATMOSPHERIC AND OCEANIC TECHNOLOGY	290	6.203 %
<input type="checkbox"/>	JOURNAL OF APPLIED METEOROLOGY	222	4.749 %
<input type="checkbox"/>	PROCEEDINGS OF THE SPIE THE INTERNATIONAL SOCIETY FOR OPTICAL ENGINEERING	207	4.428 %
<input type="checkbox"/>	IEEE TRANSACTIONS ON GEOSCIENCE AND REMOTE SENSING	189	4.043 %
<input type="checkbox"/>	LIDAR REMOTE SENSING IN ATMOSPHERIC AND EARTH SCIENCES REVIEWED AND REVISED PAPERS PRESENTED AT THE TWENTY FIRST INTERNATIONAL LASER RADAR CONFERENCE ILRC21	172	3.679 %
<input type="checkbox"/>	MONTHLY WEATHER REVIEW	160	3.422 %
<input type="checkbox"/>	RADIO SCIENCE	131	2.802 %
<input type="checkbox"/>	ATMOSPHERIC RESEARCH	110	2.353 %
<input type="checkbox"/>	GEOPHYSICAL RESEARCH LETTERS	107	2.289 %
<input type="checkbox"/>	JOURNAL OF GEOPHYSICAL RESEARCH	100	2.139 %

了解该课题相关论文的主要出版物

2012/4/10



→ 查看记录 × 排除记录		字段:受控词索引	记录 计数	%, 共 4675
<input type="checkbox"/>		METEOROLOGICAL RADAR	4071	87.080 %
<input type="checkbox"/>		REMOTE SENSING BY RADAR	2036	43.551 %
<input type="checkbox"/>		ATMOSPHERIC TECHNIQUES	1819	38.909 %
<input type="checkbox"/>		RAIN	1277	27.316 %
<input type="checkbox"/>		WIND	1087	23.251 %
<input type="checkbox"/>		DOPPLER RADAR	813	17.390 %
<input type="checkbox"/>		CLOUDS	699	14.952 %
<input type="checkbox"/>		SPACEBORNE RADAR	608	13.005 %
<input type="checkbox"/>		ATMOSPHERIC PRECIPITATION	505	10.802 %
<input type="checkbox"/>		STORMS	465	9.947 %

了解该课题涉及的叙词，从而了解该课题涉及的研究主题及常使用的专业词汇

用的专业词汇

了解从事该研究的主要国家/地区

→ 查看记录 × 排除记录		字段:国家/地区	记录 计数	%, 共 4675
<input type="checkbox"/>		USA	1971	42.160 %
<input type="checkbox"/>		JAPAN	346	7.401 %
<input type="checkbox"/>		CHINA	328	7.016 %
<input type="checkbox"/>		GERMANY	233	4.984 %
<input type="checkbox"/>		FRANCE	231	4.941 %
<input type="checkbox"/>		ITALY	220	4.706 %
<input type="checkbox"/>		UK	220	4.706 %
<input type="checkbox"/>		INDIA	138	2.952 %
<input type="checkbox"/>		CANADA	120	2.567 %
<input type="checkbox"/>		UKRAINE	114	2.439 %

所有数据库

选择一个数据库

Inspec

其他资源

检索 | 高级检索 | 检索历史

Inspec[®]

<< 返回上一页

检索结果 非受控词索引=(meteorological radar or weather radar) OR 受控索引=(meteorological radar or weather radar)

精炼依据: 国家/地区=(CHINA)
时间跨度=所有年份. 数据库=Inspec.
词形还原=打开

检索结果: 328

结果输出

分析检索结果

第 1 页, 共 33 页 转至 >>> 排序方式: 出版日期 (降序)

保存为: EndNote Web | EndNote | ResearcherID 更多选项

分析检索结果

精炼检索结果

结果内检索

分类

精炼

- ATMOSPHERIC IONOSPHERIC AND MAGNETOSPHERIC TECHNIQUES AND EQUIPMENT (220)
- RADAR EQUIPMENT SYSTEMS AND APPLICATIONS (220)
- INSTRUMENTATION AND TECHNIQUES FOR GEOPHYSICAL HYDROSPHERIC AND LOWER ATMOSPHERE RESEARCH (179)
- WATER IN THE ATMOSPHERE HUMIDITY CLOUDS EVAPORATION PRECIPITATION (95)

ASIA (81)
更多选项/分类...

文献类型

精炼

- JOURNAL PAPER (198)
- CONFERENCE PAPER (154)

更多选项/分类...

2012/4/10

编者

来源出版物

- 1. 标题: **Rayleigh Doppler Lidar for Higher Tropospheric and Stratospheric wind Observation**
作者: Tang Lei; Wang Cong-Rong; Wu Hai-Bin; 等.
来源出版物: Chinese Physics Letters 卷: 29 期: 1 页: 014213 (4 pp.) DOI: 10.1088/0256-307X/29/1/014213 出版年: Jan. 2012
[Links] [全文] [查看摘要]
- 2. 标题: **Oversampling gain in adaptive normalised matched filter detector**
作者: Shi Y.-L.; Shui P.-L.; Zhao Y.-B.
来源出版物: IET Radar, Sonar & Navigation 卷: 5 期: 9 页: 987-93 DOI: 10.1049/iet-rsn.2010.0293 出版年: Dec. 2011
[Links] [全文] [查看摘要]
- 3. 标题: **A 35-GHz polarimetric Doppler radar and its application for observing clouds associated with Typhoon Nuri**
作者: Lingzhi Zhong; Liping Liu; Sheng Feng; 等.
来源出版物: Advances in Atmospheric Sciences 卷: 28 期: 4 页: 945-56 DOI: 10.1007/s00376-010-0073-5 出版年: July 2011
[Links] [全文] [查看摘要]
- 4. 标题: **Error analysis of non-spherical raindrops on precipitation measurement**
作者: Xie Ya-nan; Zhou Xing-li; Yang Zheng-de
来源出版物: Journal of Shanghai University 卷: 15 期: 2 页: 92-5 DOI: 10.1007/s11741-011-0699-2 出版年: April 2011
[Links] [全文] [查看摘要]
- 5. 标题: **Weather radar angular resolution improvement of reflectivity data**
作者: Li Xuehua; He Jianxin; He Zishu
来源出版物: Computer Engineering and Applications 卷: 47 期: 8 页: 18-20, 24 DOI: 10.3778/j.issn.1002-8331.2011.08.000 出版年: March 2011
[Links] [查看摘要]

隐藏精炼

所有数据库

选择一个数据库

Inspec

其他资源

检索 | 高级检索 | 检索历史

Inspec[®]

<< 返回上一页

检索结果 非受控词索引=(meteorological radar or weather radar) OR 受控索引=(meteorological radar or weather radar)

精炼依据: 国家/地区=(CHINA)
时间跨度=所有年份. 数据库=Inspec.
词形还原=打开

检索结果: **328**

第 1 页, 共 33 页 [转至](#)

排序方式: [出版日期 \(降序\)](#)



保存为: [EndNote Web](#) [EndNote](#) [ResearcherID](#) [更多选项](#)

[分析检索结果](#)

精炼检索结果

结果内检索

[检索](#)

分类 [精炼](#)

- ATMOSPHERIC IONOSPHERIC AND MAGNETOSPHERIC TECHNIQUES AND EQUIPMENT (220)
- RADAR EQUIPMENT SYSTEMS AND APPLICATIONS (220)
- INSTRUMENTATION AND TECHNIQUES FOR GEOPHYSICAL

- 1. 标题: [Rayleigh Doppler Lidar for Higher Tropospheric and Stratospheric wind Observation](#)
作者: Tang Lei; Wang Cong-Rong; Wu Hai-Bin; 等.
来源出版物: Chinese Physics Letters 卷: 29 期: 1 页: 014213 (4 pp.) DOI: 10.1088/0256-307X/29/1/014213 出版年: Jan. 2012
[Links](#) [全文](#) [[查看摘要](#)]
- 2. 标题: [Oversampling gain in adaptive normalised matched filter detector](#)
作者: Shi Y.-L.; Shui P.-L.; Zhao Y.-B.
来源出版物: IET Radar, Sonar & Navigation 卷: 5 期: 9 页: 987-93 DOI: 10.1049/iet-rsn.2010.0293 出版年: Dec. 2011
[Links](#) [全文](#) [[查看摘要](#)]

电子邮件选项

<< 取消

记录收件人电子邮件:

发件人电子邮件: (可选):

注释 (可选):

电子邮件样式: [纯文本](#)

[发送电子邮件](#)



导出到EndNote

An introduction to the physics of graphene layers¹

A major breakthrough in condensed matter physics took place when K. S. Novoselov et al. discovered an electric field effect in atomically thin carbon films⁽¹⁾. A single layer of these thin carbon films is called graphene and its electric andmagneto-electric properties triggered a new research field in condensedmatter physics. The manufacture of graphene was followed by the production of other two-dimensional (2D) crystals, which however do not show the same exciting properties of graphene⁽²⁾. Applying high magnetic fields to a graphene sample, the Manchester group discovered that in graphene the quantization rule for the Hall conductivity is not the same observed in the 2D electron gas.¹

1. K. S. Novoselov *et al.*, Two-dimensional gas of massless Dirac fermions in graphene. *Nature* **438**, 197 (Nov, 2005).¹

2. 2012/4/10 C. Elias *et al.*, Control of Graphene's Properties by Reversible Hydrogenation: Evidence for Graphane. *Science* **323**, 610 (Jan, 2009).¹

参考文献



检索历史

WEB OF KNOWLEDGESM | DISCOVERY STARTS HERE



登录 | 标记结果列表 (0) | 我的 EndNote Web | 我的 ResearcherID | 我的引文跟踪 | 我已保存的检索 | 注销 | 帮助

所有数据库 | 选择一个数据库 | Inspec | 其他资源

检索 | 高级检索 | 检索历史

Inspec[®]

检索历史

检索式	检索结果	保存检索历史/创建跟踪	打开保存的检索历史	组配检索式	删除检索式
# 11	17 (非受控索引=(meteorological radar or weather radar) OR 受控索引=(meteorological radar or weather radar)) AND 化学物质索引=(nd/dop) 数据库=Inspec 时间跨度=所有年份 词形还原=打开	<input type="checkbox"/>	<input type="checkbox"/>	<input type="radio"/> AND <input type="radio"/> OR 组配	<input type="checkbox"/> 全选 <input type="checkbox"/> 删除
# 10	176 (非受控索引=(meteorological radar or weather radar) OR 受控索引=(meteorological radar or weather radar)) AND Frequency=(3.0E+07 3.0E+09) 数据库=Inspec 时间跨度=所有年份 词形还原=打开	<input type="checkbox"/>	<input type="checkbox"/>	<input type="radio"/> AND <input type="radio"/> OR 组配	<input type="checkbox"/> 全选 <input type="checkbox"/> 删除
# 9	2,304 (非受控索引=(meteorological radar or weather radar) OR 受控索引=(meteorological radar or weather radar)) AND 处理类型=(X) 数据库=Inspec 时间跨度=所有年份 词形还原=打开	<input type="checkbox"/>	<input type="checkbox"/>	<input type="radio"/> AND <input type="radio"/> OR 组配	<input type="checkbox"/> 全选 <input type="checkbox"/> 删除
# 8	140 (非受控索引=(meteorological radar or weather radar) OR 受控索引=(meteorological radar or weather radar)) AND 处理类型=(N) 数据库=Inspec 时间跨度=所有年份 词形还原=打开	<input type="checkbox"/>	<input type="checkbox"/>	<input type="radio"/> AND <input type="radio"/> OR 组配	<input type="checkbox"/> 全选 <input type="checkbox"/> 删除
# 7	244 (非受控索引=(meteorological radar or weather radar) OR 受控索引=(meteorological radar or weather radar)) AND 处理类型=(A) 数据库=Inspec 时间跨度=所有年份 词形还原=打开	<input type="checkbox"/>	<input type="checkbox"/>	<input type="radio"/> AND <input type="radio"/> OR 组配	<input type="checkbox"/> 全选 <input type="checkbox"/> 删除
# 6	3,919 (非受控索引=(meteorological radar or weather radar) OR 受控索引=(meteorological radar or weather radar)) AND 分类=(B6*) 数据库=Inspec 时间跨度=所有年份 词形还原=打开	<input type="checkbox"/>	<input type="checkbox"/>	<input type="radio"/> AND <input type="radio"/> OR 组配	<input type="checkbox"/> 全选 <input type="checkbox"/> 删除
# 5	5,122 #3 NOT #4 数据库=Inspec 时间跨度=所有年份 词形还原=打开	<input type="checkbox"/>	<input type="checkbox"/>	<input type="radio"/> AND <input type="radio"/> OR 组配	<input type="checkbox"/> 全选 <input type="checkbox"/> 删除
# 4	4,675 非受控索引=(meteorological radar or weather radar) OR 受控索引=(meteorological radar or weather radar) 数据库=Inspec 时间跨度=所有年份 词形还原=打开	<input type="checkbox"/>	<input type="checkbox"/>	<input type="radio"/> AND <input type="radio"/> OR 组配	<input type="checkbox"/> 全选 <input type="checkbox"/> 删除
# 3	9,797 主题=(meteorological radar or weather radar or meteorologic radar) 数据库=Inspec 时间跨度=所有年份 词形还原=打开	<input type="checkbox"/>	<input type="checkbox"/>	<input type="radio"/> AND <input type="radio"/> OR 组配	<input type="checkbox"/> 全选 <input type="checkbox"/> 删除

2012/4/10

保存检索历史

<< 返回

保存到 Web of Knowledge 服务器

使用此方框把检索历史保存到您的私人账户。

定制您的体验

- 保存检索
- 访问 EndNote Web
- [想了解更多?](#)
- [注册](#)

电子邮件地址:

密码: ([忘记密码?](#))

在此计算机上记住我

为了访问已保存到 Web of Knowledge 服务器的检索历史，您必须登录或注册。

将检索历史保存到 Web of Knowledge 服务器上的好处:

- 可以根据保存的检索历史创建电子邮件跟踪。
- 可以根据保存的检索历史创建 RSS 源。
- 能够从机构的任何计算机访问已保存的检索历史。
- 您可以直接从 Web of Knowledge 主页打开保存的检索历史。

用户注册

要开始注册过程，请提供您的电子邮件地址。

电子邮件地址：

确认电子邮件地址：

保存检索历史至本地磁盘。保存文件后，单击上



Inspection WOK个性化服务

注册个人账户，你可以：

- 选择最常使用的数据库作为登录页面
- 在My Journal List中创建您经常浏览的期刊并建立期刊目次快讯服务(Table of Contents Alerts)
- 创建并管理定题跟踪服务 (Save History and Create Alerts)
- 创建并管理引文跟踪服务(Citation Alerts)
- 建立我的 “EndNote Web” 、 “Researcher ID”

已登录

我的 Endnote Web

我的引文跟踪

我已保存的检索

注销

帮助

ENDNOTE[®] WEB provided by RESEARCHERID

我的参考文献

收集

组织

格式化

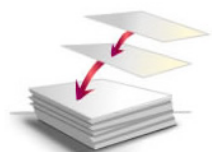
快速检索

检索

检索范围 我的所有参考文献

检索

EndNote Web 使用指南



我的参考文献

打开/管理保存的检索式

<< 返回

从 Web of Knowledge 服务器上打开

在此方框中，打开已保存到服务器上私人账户的检索历史。

显示历史: 全部产品 转至

检索历史名称	产品	说明	RSS Feed	跟踪服务	修改设置	删除 全选 删除	打开/运行 检索历史
1	Web of Science		XML	状态: 关闭 到期: --	设置		打开 ▶
chen xh	Web of Science		XML	状态: 关闭 到期: --	设置		打开 ▶
cloud comput*(ā, ā½)	Web of Science		XML	状态: 关闭 到期: --	设置		打开 ▶
dvd	Inspec		XML	状态: 关闭 到期: --	设置		打开 ▶
li jiayu	Web of Science		XML	状态: 关闭 到期: --	设置		打开 ▶
nature	Web of Science		XML	状态: 关闭 到期: --	设置		打开 ▶
zhang 2012/4/10	Web of Science		XML	状态: 关闭 到期: --	设置		打开 ▶ 78

快捷菜单选择

选择检索文献: 查看/寄送至电子邮箱/保存



跨库检索

- Web of knowledge平台可检索多个数据库
(web of science/inspec/medline……)
- 检索结果分析
- 超过60%的Inspec收录的文献可以通过平台链接到全文，
在WOK平台能链接到：
 - 大多数重要出版商/物
 - 其它数据库 on WOK
 - OPAC联机公共目录查询系统



超过2100种被Inspec收录的期刊杂志具有全文链接

出版商	期刊数	出版商	期刊数
EBSCO	677	Taylor Francis	42
Elsevier	580	AIP	40
Kluwer	230	Blackwell	37
IEL	200	IOP	30
Wiley	125	OUP	21
Springer	75	CUP	20
World Scientific	46		



- INSPEC简介
- 利用Inspec[®]数据库获取工程研究信息
 - 进行课题检索
 - 利用控制词、数值索引、化学索引等来精确检索
 - 检索结果分析管理
 - 设置课题追踪等个性化服务
- INSPEC on ISI Web of Knowledge总结



总结（一）

- INSPEC的优点

既可以用于检索研究课题，也可：

- 了解当今研究现状
- 了解新产品信息
- 技术发展预测
- 企业竞争情报
- 进行相关专利的检索



总结（二）

- INSPEC提供了控制词表、叙词和主题分类，这可以帮助：
 - 识别某个概念和想法
 - 查到通过自由词检索无法获得的相关文献
 - 获取高度相关及全面地检索
 - 按照需求缩小或者扩大检索范围，提高准确性



总结（三）

- 通过ISI Web of Knowledge使用INSPEC可以
 - 链接获取全文
 - 通过ISI Web of Knowledge建立定题跟踪服务
 - 通过Web of Science链接及获取被引参考文献、相关记录信息以及施引文章等。
 - 在ISI Web of Knowledge平台上跨库检索其他数据库
 - 方便文献管理与写作



知识产权解决方案

生命科学信息

学术研究、出版与分析

客户技术支持

联系知识产权与科技

全球办公室地点

活动及会议信息

免费资源

期刊编辑报告

生命科学报告

科技创新报告

更多免费资源

培训资源

产品培训

应用技巧

常见问题

产品升级

在线讲堂

全球其它网站

澳大利亚 & 新西兰

GO

收录期刊列表



REUTERS/ Toby Melville

WEB OF KNOWLEDGESM
在线大讲堂

最新中国创新现状

最新信息

全球行业研究报告与您分享!

LEARN MORE: READ THE FULL REPORT



医药研发的智能信息平台

行业研究报告

科学前沿及热点话题



ScienceWatch.com (科学观察) 回顾了过去十年关于石油泄漏的领先研究。引文数据能从多个角度显示变化趋势与异常, 而且报告内容还包括论文分析、排名、直观地图以快速凸显关于全球十次石油泄漏大事件的关键研究。浏览石油泄漏报告

专利及科技创新



为了帮助企业利用知识产权的信息, 激励企业创新, 开拓业务, 汤森路透培训部将在2012年3月-4月期间推出一系列的免费知识产权培训课程。如果您对课程感兴趣请您提前注册报名。具体信息欢迎您[点击这里](#)

《仿制药发展动态》: Paragraph IV 挑战



2011年第三季度, FDA 报告仅有4种新的原料药或复方药受到了 Paragraph IV 专利挑战, 低于前一季度的13种。点击[这里](#)下载报告

热点话题



Web of Knowledge在线大讲堂
让“我的科研之路”更精彩



ESI & InCites
学科评估的权威工具

权威媒体转载

Web of Knowledge在线大讲堂有奖答题竞赛

<http://ip-science.thomsonreuters.com.cn/2012WOKonline/course.htm>

三月	开学，WOK教你开题选题	2	3月25日 主讲人：张素芳 博硕士如何利用SCI选题与开题 详细课程请点击	3月25日 主讲人：李琛 利用Web of Science进行选题（SSCI/AHCI）开题，人文社科专场 详细课程请点击	
		3	3月27日 主讲人：张素芳 精准获取信息的基本功训练—如何编写检索式 详细课程请点击	3月29日 主讲人：张素芳 如何检索科技会议录：会议文献的价值及对科研的作用 详细课程请点击	3月29日-4月3日 有奖答题竞赛
		4	清明节假期	4月5日 主讲人：万跃华 如何利用SCI进行基金申请 详细课程请点击	
四月	基金申请	5	4月10日 主讲人：张素芳 利用Inspec®数据库获取工程研究信息 详细课程请点击	4月12日 主讲人：樊亚芳 建立自己的小论文写作平台：介绍EndNote® Web使用 详细课程请点击	
		6	4月17日 主讲人：樊亚芳 Endnote®基本功能介绍 详细课程请点击	4月19日 主讲人：樊亚芳 Endnote®高级功能介绍 详细课程请点击	
		7	4月24日 主讲人：李琛 著作管理与科研社交工具Research ID 详细课程请点击		4月26日-5月1日 有奖答题竞赛
五月	纵览生命科学信息，探寻生命的奥秘	8	五一假期 5月8日 主讲人：马亚鹏 生命科学信息检索专场 详细课程请点击	5月10日 主讲人：张辉 制药行业的信息获取 详细课程请点击	
		9	5月15日 主讲人：马亚鹏 引文聚焦诺贝尔奖医学研究 详细课程请点击	5月17日 主讲人：李慧美 Zoological Record®探索动物的奥秘 详细课程请点击	5月17日-22日 有奖答题竞赛
		10	5月22日 主讲人：彭斌 专利基础知识与专利申请 详细课程请点击	5月24日 主讲人：彭斌 利用德温特专利Derwent Innovations Index SM 数据库寻找研发技术信息及化学检索 详细课程请点击	
	透视全球专利信息，把握前沿研发动态	11	5月29日 主讲人：李慧美 利用Thomson Innovation纵览全球研发动态	5月31日 主讲人：彭斌 利用Thomson Data Analyzer挖掘技术情报	5月29日-6月2日 有奖答题竞赛



在线大讲堂简介

汤森路透公开课

主要讲师介

有奖答题竞

大讲堂最佳

各地巡讲安

学生交流活

各地巡讲安

学生交流活



- 微群首页
- 风云榜
- 微群帮助
- 意见反馈
- 申请认证



WOK在线大讲堂

群主: 张帆FanFan

+ 加入该群

5545
成员

1657
发言

群公告

Web of Knowledge在线大讲堂2012年春季课程已经开课了, 网址: <http://t.cn/zOMfD2y>

友情提示:

- 1) 注册之后若还没有确认邮件, 也可直接登录, 用户名是注册信箱, 密码是2012.
- 2) 如果进入课程后没有声音, 请点击页面顶部工具栏中的“通信”, 在下拉菜单中选取“VoIP”, 并点击“开始会议”即可。
- 3) 当天的讲座课件最快会在第二天14:00挂出。
- 4) 其它问题, 请留言, 我们会尽快回复。

群号: 569008

创建人: 张帆FanFan
2011-3-8 14:59

分类: 行业交流 > 其他行业
群标签: 文献检索 SCI 文献分析 论文写作

群简介: 该微群为参加Web of Knowledge在线大讲堂的各位师生而设。大家可以在微群中交流信息, 同时各位授课老师也都会在微群中解答大家的疑问。本微群也欢迎有关科研信息的利用、科技论文写作等方面的话题



谢 谢 大 家!